

Lennanen pcp 5.10.1972.

truncatum pcp ♀ (reber)

Yewina oxyfem ♀ (reber)

Upset

Prirodno-matematički fakultet

Katedra za fiziku

Zmijanjac Dušan

D I P L O M S K I R A D

ZEMANOV EFEKT

N o v i S a d 1972

Zahvaljujem docentu Dr. Ivanu
Janiću, koji mi je korisnim
savetima i svojom svesrdnom
pomoći omogućio da na vreme
i uspešno završim ovaj rad.



S A D R Ž A J

Uvod	2
T E O R I J S K I D E O	3
1. Orbitalni mehanički moment količine kretanja elektrona	4
2. Orbitalni magnetni moment elektrona	5
3. Spinski mehanički moment elektrona	6
4. Spinski magnetni moment elektrona	9
V e k t o r s k i m o d e l a t o m a	11
5. Ukupni mehanički moment atoma sa više elektrona i tipovi sprege	11
6. Magnetni moment jednog atoma	16
7. Multipletna struktura Rasel-Saundersovih termova i simboli termova	19
8. Zemanov efekt	21
9. Lorencovo objašnjenje normalnog Zemanovog efekta . . .	22
10. Kvantno-mehaničko objašnjenje Zemanovog efekta	24
11.'Normalni Zemanov efekt	27
12. Anomalni Zemanov efekt	30
E K S P E R I M E N T A L N I D E O	34
13. Uredjaji za posmatranje Zemanovog efekta	35
14. Fabri-Pero-ov interferometar	36
E k s p e r i m e n t a l n i r e z u l t a t i	42
I Baždarenje mikrometarske skale	42
II Izračunavanje slobodnog spektralnog intervala	43
III Odredjivanje uslova eksperimenta	43
IV Transverzalni Zemanov efekt Hg linija.	44
V Longitudinalni Zemanov efekt Hg linija	47
VI Reapsorpcija D-linija kod Na	48
VII Prilog	50
Zaključak	52
Literatura	54

U V O D

Uticaj magnetizma na svetlost predvideo je još Faradéj. On je predpostavljao da magnetno polje može uneti izvesne promene u svetlost na koju dejstvuje. No, zbog neuspešne tehničke merenja, on nije mogao konstatovati te promene i taj uticaj. Tek 1896. godine Zeman otkriva tu pojavu, kojoj je Lorenc dao teorijsku analizu i kvantitativne rezultate pomoću svoje čuvene elektronske teorije i elektromagnetne teorije svetlosti.

Rezultat dejstva magnetnog polja na atome koji emituju svetlost ogleda se u razdvajaju spektralnih linijsko-koje atomi emituju u odsustvu polja. Spektralna linijska cepta tako da se tačno može odrediti razlika medju frekvencijama spektralnih linijsko-koje je prvobitna linijska razložena. Ta se pojava, po njenom pronalazaču, naziva Zemanov efekt. Broj komponenata rascepljene linijske može biti najmanje tri (normalni Zemanov efekt). Složeniji slučajevi cepanja spektralnih linijsko-koje je broj komponenata veći od tri, naziva se anomalni Zemanov efekt.

Ovaj rad je posvećen pojavi Zemanovog efekta, a sastoji se iz dva dela: teorijskog i eksperimentalnog. U teorijskom delu izloženi su tipovi sprega mehaničkih i magnetnih momenata više-elektronskih atoma i multipletnost atomskih termova, koji su neophodni za objašnjavanje Zemanovog efekta, a zatim su date teorijske osnove same pojave. Iznito je, ukratko, klasično Lorenco-vo objašnjenje normalnog Zemanovog efekta, a zatim kvantnomehaničko objašnjenje normalnog i anomalnog Zemanovog efekta.

U eksperimentalnom delu data je analiza spektra rascepljenih spektralnih linijsko- $\lambda = 5460,74 \text{ } \text{\AA}$ i $\lambda = 4046,56 \text{ } \text{\AA}$, pri transverzalnom i longitudinalnom posmatranju.

1. OSBITALNI MEHANIČKI KOMPLEKSNE KRETANJE ELEKTRONA

Po Korovej teoriji stono vodenik elektron se kreće po jednoj orbiti oko jednog sa usponom učestanosti $\tilde{\omega}$. Uzrok učestanosti je konservana u pravcu osi rotacije, t.j. normalna je na planinu kojoj leti putanja elektrona. Prava klasičnog mehaničkog kretanja elektrona, odnosno orbitalni moment, kada je obuhvaća sveti, jednaka je

$$\tilde{L} = \tilde{r} \times m\tilde{v}, \quad (1.1)$$

gdje predstavlja kružna rada joj njenog intenziteta.

$$I = m_pv = m_p r^2 \omega. \quad (1.2)$$

Na vidiku, orbitalni moment elektrona se manje kontinuirano i tako je realnost od nule jer je $v \neq 0$ i $\omega \neq 0$. Po Korovej teoriji orbitalni moment kretanja se kvantuje ($m_pv = \hbar l$, $l=0, 1, 2, \dots$) ali nikada nije jednak nuli. Prava kvantiteta ne može opisati vrednost orbitalnog momenta kretanja kretanja, tako je konstrukcija

$$|\tilde{L}| = \sqrt{L_x^2 + L_y^2} = h \quad (1.3)$$

$$l=0, 1, 2, \dots, (n-1)$$

gleđe orbitalni kvantni broj, a engleski kvantni broj. Prvi orbitalni moment je kvantiran u mnoštvu jedne jedinice.

Uzimajući, orbitalni moment se može organizovati tako da njegove projekcije na tri osične pravce (pravac magnetnog ili električnog polja) mogu poprinesti

TEORIJSKI DEO

$$|\tilde{L}| = mh \quad (1.4)$$

$$m_l = 0, \pm 1, \pm 2, \dots, \pm l$$

gdje je m_l - magnitni kvantni broj. Na sl.1.1 predstavljene su

1. ORBITALNI MEHANIČKI MOMENT KOLIČINE KRETANJA ELEKTRONA

Po Borovojoj teoriji atoma vodonika elektron se kreće po kružnoj orbiti oko jezgra sa ugaonom učestanošću ω . Ugaona učestanost je usmerena u pravcu ose rotacije, tj. normalna je na ravni u kojoj leži putanja elektrona. Prema klasičnoj mehanici moment količine kretanja elektrona, odnosno orbitalni moment, kako ćemo ga ubuduće zvati, jednak je

$$\vec{l} = \vec{r} \times m_e \vec{v}. \quad (1.1)$$

Ako je putanja kružna tada je njegov intenzitet

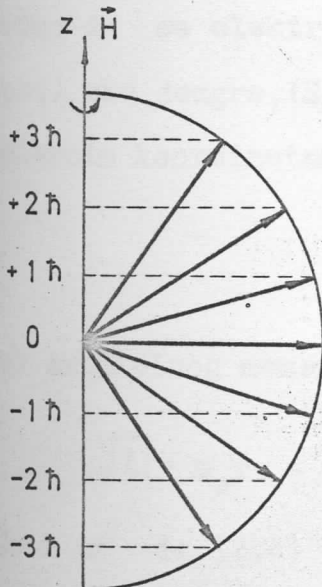
$$l = m_e v r = m_e r^2 \omega. \quad (1.2)$$

Kako vidimo, orbitalni moment elektrona se menja kontinuirano i uvek je različit od nule jer je $v \neq 0$ i $\omega \neq 0$. Po Borovojoj teoriji orbitalni moment količine kretanja se kvantuje ($m_e v r = nh$, $n = 1, 2, 3, \dots$) ali nikada nije jednak nuli. Prema kvantnoj mehanici absolutna vrednost orbitalnog momenta količine kretanja data je izrazom

$$|\vec{l}| = \sqrt{l(l+1)} \cdot \hbar \quad (1.3)$$

$$l = 0, 1, 2, \dots, (n-1)$$

gde je l -orbitalni kvantni broj, a n -glavni kvantni broj. Prema (1.3), orbitalni moment je kvantiran i može biti jednak nuli.



Sl. 1.1

Osim toga, orbitalni moment se može orijentisati tako da njegove projekcije na neki zadani pravac z (pravac magnetnog ili električnog polja) mogu poprimati samo diskretnе vrednosti

$$|\vec{l}_z| = m_l \hbar \quad (1.4)$$

$$m_l = 0, \pm 1, \pm 2, \dots, \pm l$$

gde je m_l - magnetični kvantni broj. Na Sl.1.1 predstavljene su

moguće orijentacije orbitalnog momenta za $\ell = 3$ i moguće projekcije na zadani pravac z. Orbitalni moment, zapravo, precesira oko pravca z zaklapajući s njim ugao ψ čiji je kosinus

$$\cos \psi = \frac{m_\ell}{\sqrt{\ell(\ell+1)}} \quad (1.5)$$

2. ORBITALNI MAGNETNI MOMENT ELEKTRONA

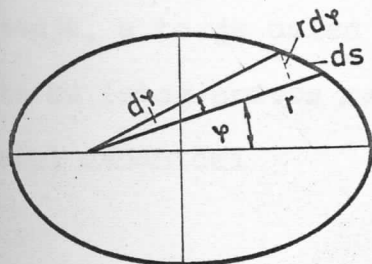
Elektron, krećući se po zatvorenoj putanji (Sl. 2.1) obrazuje struju koja je određena izrazom

$$I = -e v = -\frac{e}{T} \quad (2.1)$$

gde je $-e$ - nanelektrisanje elektrona, v - frekvencija, a T - period obilaska elektrona duž zatvorene putanje. Ova struja obrazuje magnetni moment $\vec{\mu}_l$ čiji intenzitet iznosi

$$\mu_l = \mu_0 I S \quad (2.2)$$

gde je μ_0 - magnetna konstanta (permeabilitet vakuuma), a S - površina koju obuhvata putanja po kojoj se kreće elektron.



Sl - 2.1

Da bismo odredili veličinu tog magnetnog momenta predpostavimo da se elektron kreće po eliptičnoj putanji (Keplerovoj elipsi) oko jezgra, (Sl.2.1). Površina, ograničena tom putanjom, u polarnim koordinatama određena je izrazom

$$S = \frac{1}{2} \int_0^{2\pi} r^2 d\varphi \quad (2.3)$$

Modul orbitalnog momenta takvog elektrona iznosi

$$|\vec{l}| = m_e r v = m_e r \frac{dS}{dt} = m_e r \frac{r d\varphi}{dt} = m_e r^2 \frac{d\varphi}{dt} \quad (2.4)$$

te kad r^2 iz (2.4) zamenimo u (2.3) dobija se

$$S = \frac{1}{2} \int_0^T \frac{|\vec{l}|}{m_e} dt = \frac{1}{2} \frac{|\vec{l}|}{m_e} \cdot T . \quad (2.5)$$

Na osnovu (2.2), (2.1) i (2.5) dobija se za orbitalni magnetni moment

$$\mu_l = - \frac{\mu_0 e}{2m_e} |\vec{l}| \quad (2.6)$$

ili, u vektorskom obliku

$$\vec{\mu}_l = - \frac{\mu_0 e}{2m_e} \vec{l} = - \frac{\mu_B}{\hbar} \vec{l} . \quad (2.7)$$

Veličina

$$\mu_B = \frac{\mu_0 e \hbar}{2 m_e} \quad (2.8)$$

zove se Borov magneton i uzet je za atomsku jedinicu magnetnog momenta, a vrednost mu je $\mu_B = 0,927 \cdot 10^{-23} \frac{J}{T}$. Kako se vidi iz (2.7) magnetni moment $\vec{\mu}_l$ je suprotnog smera od momenta količine kretanja, a to je usled negativnog nanelektrisanja elektrona ($-e$). Pošto su istog pravca magnetni moment se kvantuje isto kao i orbitalni mehanički

$$\mu_{l_z} = - m_l \mu_B \quad (2.9)$$

$$m_l = 0, \pm 1, \pm 2, \dots, \pm l$$

3. SPINSKI MEHANIČKI MOMENT ELEKTRONA

Ispitivanje spektara alkalnih metala pomoću uredjaja koji imaju veliku moć razlaganja, pokazalo je da se svaka linija tih spektara pojavljuje kao dublet. Teko na primer, karakteristična linija za natrijum - žuta linija $3P - 3S$ sastoji se iz dve linije talasnih dužina 5890 \AA^0 i 5896 \AA^0 . Ovi dubleti su karakteristični i za druge linije glavne serije ($nP - 3S$), a i za linije drugih serija. U tabeli I prikazano je nekoliko dubleta natrijuma.

T A B E L A I

Serijski broj	Prelaz	$\lambda [A]$	$\tilde{\nu} [cm^{-1}]$	$\Delta \tilde{\nu}$
Glavna	$3P - 3S$	5890	17017	
		5896	17000	17
-/-	$4P - 3S$	3302	30306	
		3302,6	30300	6
-/-	$5P - 3S$	2852,8	35002	
		2853	35000	2
Oštra	$4S - 3P$	11382	8787	
		11404	8770	17
-/-	$5S - 3P$	6154	16217	
		6160,5	16200	17
-/-	$6S - 3P$	5158	19417	
		5149	19400	17

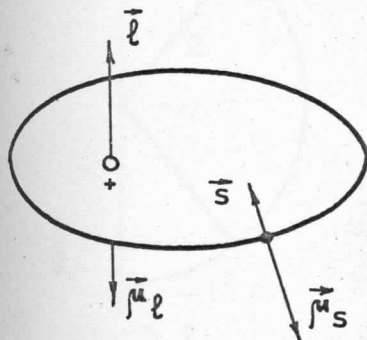
Ovo cepanje spektralnih linija, očigledno, uslovljeno je cepanjem energetskih nivoa atoma. Iz tabele se takođe vidi da je razlika između rascepljenih linija glavne serije ($nP-3S$) različita, a za linije oštре serije ($nS - 3P$) ta razlika je ista, iz čega proizilazi da se nivo S javlja kao jednostruk (singlet), a nivo P dvostruk (doublet). Daljnja analiza spektra natrijuma pokazuje da nivoi D i F se takođe javljaju kao dvostruki.

Struktura spektra, koja odražava cepanje linija na komponente, naziva se fina struktura. Složene linije koje se sastoje iz više komponenata dobjile su naziv multiplet. Fina struktura je primećena, pored alkalnih metala, takođe i kod drugih elemenata pri čemu broj komponenata u multipletu može biti doublet, triplet, kvartet, kvintet, i sl.

Da bi objasnili multipletnu strukturu spektra i anomalni Zemanov efekt Golšmit i Ulenbek uveli su 1925. god. predpostavku da elektron poseduje sopstveni moment količine kretanja \vec{s} koji nije vezan sa prostornim kretanjem elektrona.

Ovome je išla u prilog i činjenica što je kod atoma vodonikovog tipa, kao i kod atoma alkalnih elemenata, primećena paramagnetičnost, i to, sa magnetnim momentom jednakim Bohrovom magnetonu. Prema izrazu (2.7) treba očekivati da ovi atomi u osnovnom stanju ($\ell = 0$) ne poseduju magnetni moment i da ne ispoljavaju paramagnetična svojstva.

Uvedena je, dakle, predpostavka da elektron, poput Zemlje, rotira oko sopstvene ose te poseduje sopstveni moment količine kretanja, a zbog svog nanelektrisanja i sopstveni magnetni moment, (Sl. 3.1). Saglasno tome, elektron se može posmatrati kao cigra ili vreteno te je i taj sopstveni moment nazvan spin, što na engleskom jeziku znači vrteti se. Analogno izrazima (1.3) i (1.4), koji u kvantnoj mehanici važe za sva-



Sl - 3.1

trati kao čigra ili vreteno te je i taj sopstveni moment nazvan spin, što na engleskom jeziku znači vrteti se. Analogno izrazima (1.3) i (1.4), koji u kvantnoj mehanici važe za sva-ki moment količine kretanja,

svojstvene vrednosti za spinski moment su

$$|\vec{s}| = \sqrt{s(s+1)} \cdot \hbar \quad (3.1)$$

a njegove projekcije na neki zadani pravac

$$s_z = m_s \cdot \hbar \quad (3.2)$$

gde je s - spinski kvantni broj, a m_s - spinski magnetni kvantni broj. Međutim, za razliku od orbitalnog kvantnog broja ℓ , koji može imati više vrednosti koje su sve celi brojevi, eksperimentalno je dokazano da spinski kvantni broj nije ceo broj i da ima samo jednu vrednost

$$s = \frac{1}{2} . \quad (3.3)$$

Iz toga sledi da spinski moment ima samo dve projekcije na zadani pravac z , odnosno da magnetni kvantni broj m_s ima samo

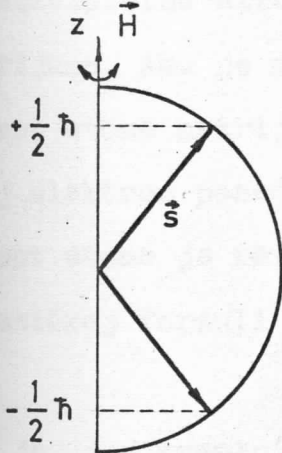
dve vrednosti

$$m_s = \pm s = \pm \frac{1}{2} . \quad (3.4)$$

Prema izrazima (3.1) i (3.3) vrednosti spinskog momenta količine kretanja elektrona i njegove projekcije na zadani pravac z su

$$|\vec{s}| = \sqrt{\frac{1}{2}(\frac{1}{2} + 1)} \cdot \hbar \approx 0,86 \hbar \quad (3.5)$$

$$s_z = \pm \frac{1}{2} \hbar = \pm 0,5 \hbar \quad (3.6)$$



Sl. 3.2

Orijentacija spinskog momenta može biti dvojaka: tzv. „paralelna“ - $(+0,5 \hbar)$ i „antiparalelna“ - $(-0,5 \hbar)$. One u suštini nisu strogo paralelne i antiparalelne već zaklapaju izvestan ugao u odnosu na pravac polja (z) i vrše precesiono kretanje oko njega, kao što

je prikazano na (Sl.3.2).

4. SPINSKI MAGNETNI MOMENT ELEKTRONA

Analogno orbitalnom magnetizmu elektron poseduje i sopstveni magnetni moment koji je uslovljen spinom elektrona. On ne zavisi ni od forme elektrona niti od njegove raspodele oko jekogra. Pošto magnetni spinski kvantni broj, kako smo videli u prethodnom paragrafu, ima vrednosti $m_s = \pm \frac{1}{2}$, to bi, prema izrazu (2.9), komponenta spinskog magnetnog momenta u pravcu spoljašnjeg polja (z - komponenta) trebala iznositi polovinu Borovog magnjeta. Međutim, svi eksperimenti, u kojima se javlja spinski magnetni moment, pokazuju da je on jednak celom magnetonu. Imajući ovo u vidu, prema izrazu (2.7) spinski magnetni moment je

$$\vec{\mu}_s = -2 \frac{\mu_0 e}{2m_e} \vec{s} = -2 \frac{\mu_B}{\hbar} \vec{s} \quad (4.1)$$

a njegov intenzitet

$$\mu_s = 2\sqrt{s(s+1)} \cdot \mu_B = \sqrt{3} \cdot \mu_B. \quad (4.2)$$

Projekcija spinskog magnetnog momenta na zadani pravac z iznosi

$$\mu_{sz} = \pm 2m_s \mu_B = \pm \mu_B. \quad (4.3)$$

Videćemo sada kako se, uvodjenjem spina, može objasniti multipletna struktura spektra. Zadržimo se na primeru atoma natrijuma. Ako je moment ostatka atoma ravan nuli tada je ukupni moment atoma natrijuma jednak momentu optičkog elektrona. Kako ovaj elektron poseduje dva momenta, orbitalni i spinski, ukupni moment atoma je ravan njihovoj rezultanti. Prema opštoj kvantno-mehaničkoj formuli (1.3) vrednost ukupnog momenta je

$$|j| = \sqrt{j(j+1)} \cdot \hbar \quad (4.4)$$

gde je j - kvantni broj ukupnog momenta, a njegove vrednosti su $j = \ell + s, \ell + s - 1, \ell + s - 2, \dots, |\ell - s|$.

Kada je orbitalni kvantni broj $\ell \neq 0$ tada j ima vrednosti:

$j = \ell + \frac{1}{2}$ i $j = \ell - \frac{1}{2}$, koje odgovaraju dvema mogućim uzajamnim orijentacijama momenata $\vec{\ell}$ i \vec{s} - paralelnoj i antiparalelnoj. Kako energetska stanja sa različitim j poseduju različite energije sledi da se svaki term reda P (za $\ell = 1$) cepta na dva terma sa odgovarajućim $j = \frac{3}{2}$ i $j = \frac{1}{2}$. Term reda D ($\ell = 2$) cepta se na termove sa $j = \frac{5}{2}$ i $j = \frac{3}{2}$, i t.d. Svakom termu reda S ($\ell = 0$) odgovara samo jedna vrednost $j = \frac{1}{2}$ i on se ne cepta.

VEKTORSKI MODEL ATOMA

5. UKUPNI MEHANIČKI MOMENT ATOMA SA VIŠE ELEKTRONA I TIPOVI SPREGE

Svaki elektron u atomu poseduje orbitalni moment količine kretanja \vec{l} i sopstveni moment (spin) \vec{s} . Ovi mehanički momenti su vezani sa odgovarajućim magnetnim momentom usled čega između \vec{l} i \vec{s} postoji uzajamno dejstvo. Ako atom ima samo jedan elektron ili, kako smo u predhodnom paragrafu kazali, ako je moment ostatka atoma jednak nuli, a van ostatka postoji samo jedan elektron, tada je ukupni moment atoma \vec{J} jednak rezultanti orbitalnog momenta \vec{l} i spinskog momenta \vec{s} .

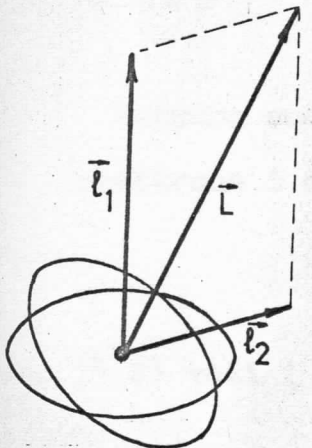
Kod više elektronskog atoma momenti \vec{l}_i i \vec{s}_i ($i=1,2,3,\dots,N$) takođe se sprežu u rezultujući moment atoma \vec{J} . Pri tome su moguća dva slučaja:

1. Kada je uzajamno dejstvo medju vektorima \vec{l}_i veće nego njihovo dejstvo sa \vec{s}_i , a isto tako dejstvo između pojedinačnih \vec{s}_i je veće nego njihovo dejstvo sa \vec{l}_i . Zbog toga se svi vektori \vec{l}_i sprežu u rezultantu \vec{L} , a svi \vec{s}_i u rezultantu \vec{S} , dajući ukupni orbitalni i ukupni spinski moment atoma. Rezultanta vektora \vec{L} i \vec{S} predstavlja ukupni mehanički moment atoma \vec{J} . Ovaj vid sprege naziva se LS - sprega ili Rassel-Saundersova sprega, a u prirodi je realizovana kod lakših atoma, odnosno kod atoma u levom gornjem delu periodnog sistema elemenata.

2. Kada je interakcija između orbitalnog \vec{l}_i i spinskog momenta \vec{s}_i jača od interakcije između pojedinačnih orbitalnih i pojedinačnih spinskih momenata. Tada se vektori \vec{l}_i i \vec{s}_i sprežu u rezultantu \vec{J}_i , a ukupni moment atoma jednak je sumi pojedinačnih \vec{J}_i . Ovakav vid sprege naziva se jj - sprega, a realizovana je u prirodi kod težih atoma, tačnije, kod atoma koji se nalaze u donjem desnom uglu periodnog sistema elemenata.

Izmedju atoma koji pripadaju ovim graničnim slučajevima nalaze se atomi kod kojih su orbitalno-orbitalna i spin-orbitalna interakcija istog reda veličine. Takav vid sprege naziva se „srednja sprega”, a ostvaruje se kod većine atoma u sredini periodnog sistema elemenata.

Razmotrićemo sada Rassel-Saundersovu spregu i pokazati kako se sprežu momenti atoma sa dva elektrona, a zatim ćemo to uopštiti za slučaj kada atom ima N elektrona. Posmatrajmo orbitale dva elektrona i njihove momente \vec{l}_1 i \vec{l}_2 (Sl.5.1) odvojene od uticaja spina. Ukupni orbitalni moment ovakvog dvoelektronskog sistema je



Sl - 5.1

$$|\vec{L}| = \sqrt{L(L+1)} \cdot \hbar \quad (5.2)$$

$$|\vec{L}_z| = m_L \cdot \hbar \quad (5.3)$$

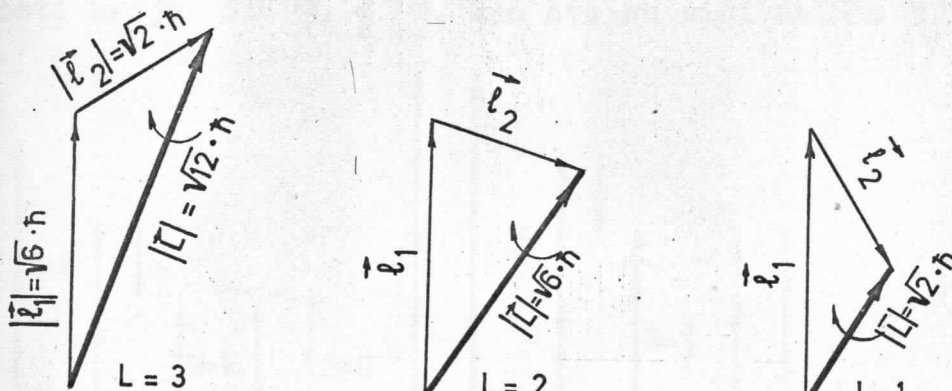
$$m_L = L, L-1, L-2, \dots, -L .$$

Ukupni moment količine kretanja \vec{L} je prema pređpostavci vremenski konstantan dok to ne važi i za pojedinačne \vec{l}_1 i \vec{l}_2 . Isto tako kvantni broj L ukupnog momenta količine kretanja, kao ceo broj, definisan je strogo dok brojevi ℓ_1 i ℓ_2 to nisu. Kao što daje teorija, a u saglasnosti sa eksperimentom, kvantni broj L , za date vrednosti $\ell_1 \geq \ell_2$, može poprimati sledeće vrednosti:

$$L = \ell_1 + \ell_2, \ell_1 + \ell_2 - 1, \ell_1 + \ell_2 - 2, \dots, \ell_1 - \ell_2. \quad (5.4)$$

Uzmimo kao primer dva orbitalna momenta koji su odredjeni kvant-

nim brojevima $\ell_1 = 2$ i $\ell_2 = 1$. Oni mogu biti složeni na tri načina i daju rezultujući moment sa odgovarajućim vrednostima kvantnog broja L koji ima vrednosti 3, 2, 1. Takvo slaganje može se predstaviti vektorskog šemom prikazanom na (Sl. 5.2).



Sl. 5.2

Potpuno analogno služu se momenti količine kretanja kod N elektrona i daju ukupni moment količine kretanja atoma L

$$\vec{L} = \sum_{i=1}^N \vec{l}_i \quad (5.5)$$

Formula (5.2) važi i ovde, a kvantni broj L poprima sledeće vrednosti:

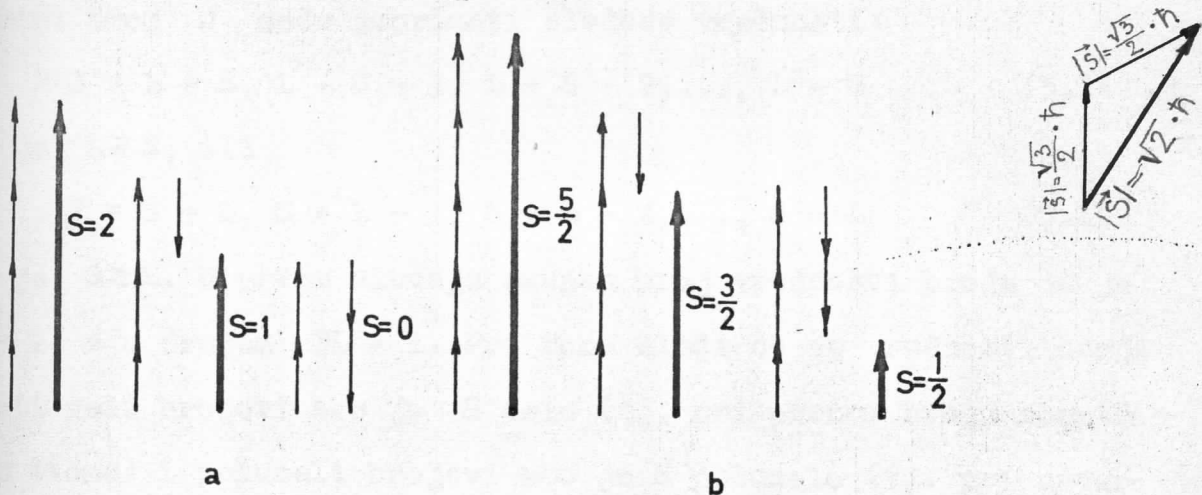
$$L = \ell_1 + \ell_2 + \dots + \ell_N, \quad \ell_1 + \ell_2 + \dots + \ell_N - 1, \dots, \ell_1 - \ell_2 - \dots - \ell_N \quad (5.6)$$

pri čemu je $\ell_1 \geq \ell_2 \geq \ell_3 \geq \dots \geq \ell_N$.

Pri slaganju spinskih momenata \vec{s}_i kvantni broj S rezultujućeg spinskog momenta atoma \vec{S} može biti ceo ili poluceo u zavisnosti od toga da li je broj elektrona u atomu paran ili neparan.

a) Ako je broj elektrona u atomu N paran tada spinski kvantni broj S uzima sve celobrojne vrednosti od najveće $N \cdot \frac{1}{2}$ (kada su svi \vec{s}_i paralelni jedan drugom) do nule (kada svi \vec{s} po dva kompenzuju jedan drugog). Ako je npr. $N = 4$ tada S ima vrednosti 2, 1, 0, kao što se vidi na Sl. 5.3a.

b) Ako je broj elektrona u atomu N neparan tada kvantni broj S poprima sve polucele vrednosti od najveće $N \cdot \frac{1}{2}$ (svi s istog smera) do najmanje $+\frac{1}{2}$ (kada svi s, sem jednog, po dva kompenzuju jedan drugog). Neka je npr. $N = 5$, tada su moguće vrednosti broja S : $\frac{5}{2}, \frac{3}{2}, \frac{1}{2}$, kao što se vidi na (Sl. 5.3b).



Sl. 5.3

Ukupni spinski moment atoma sa N elektrona jednak je, takodje, sumi pojedinačnih spinova elektrona

$$\vec{S} = \sum_{i=1}^N \vec{s}_i \quad (5.7)$$

i kvantovan unutrašnjim kvantnim brojevima S i m_S

$$|\vec{S}| = \sqrt{S(S+1)} \cdot \hbar \quad (5.8)$$

$$|\vec{S}_z| = m_S \cdot \hbar. \quad (5.9)$$

Broj S može da poprima sledeće vrednosti:

$$S = s_1 + s_2 + \dots + s_N, \quad s_1 + s_2 + \dots + s_N - 1, \dots$$

tako da je uvek $S \geq 0$.

Kao rezultat uzajamnog dejstva vektora \vec{L} i \vec{S} nastaje vektor ukupnog mehaničkog momenta atoma

$$\vec{J} = \vec{L} - \vec{S}. \quad (5.10)$$

To uzajamno dejstvo je slabo (slabije nego uzajamno dejstvo izmedju pojedinačnih orbitalnih i pojedinačnih spinskih momenata) tako da vektori \vec{L} i \vec{S} precesiraju oko pravca ukupnog momen-

ta atoma \vec{J} . Moment atoma \vec{J} je vremenski konstantan i kvantovan:

$$|\vec{J}| = \sqrt{J(J+1)} \cdot \hbar \quad (5.11)$$

$$|\vec{J}_z| = m_J \cdot \hbar \quad (5.12)$$

$$m_J = J, J-1, J-2, \dots, -J. \quad (5.13)$$

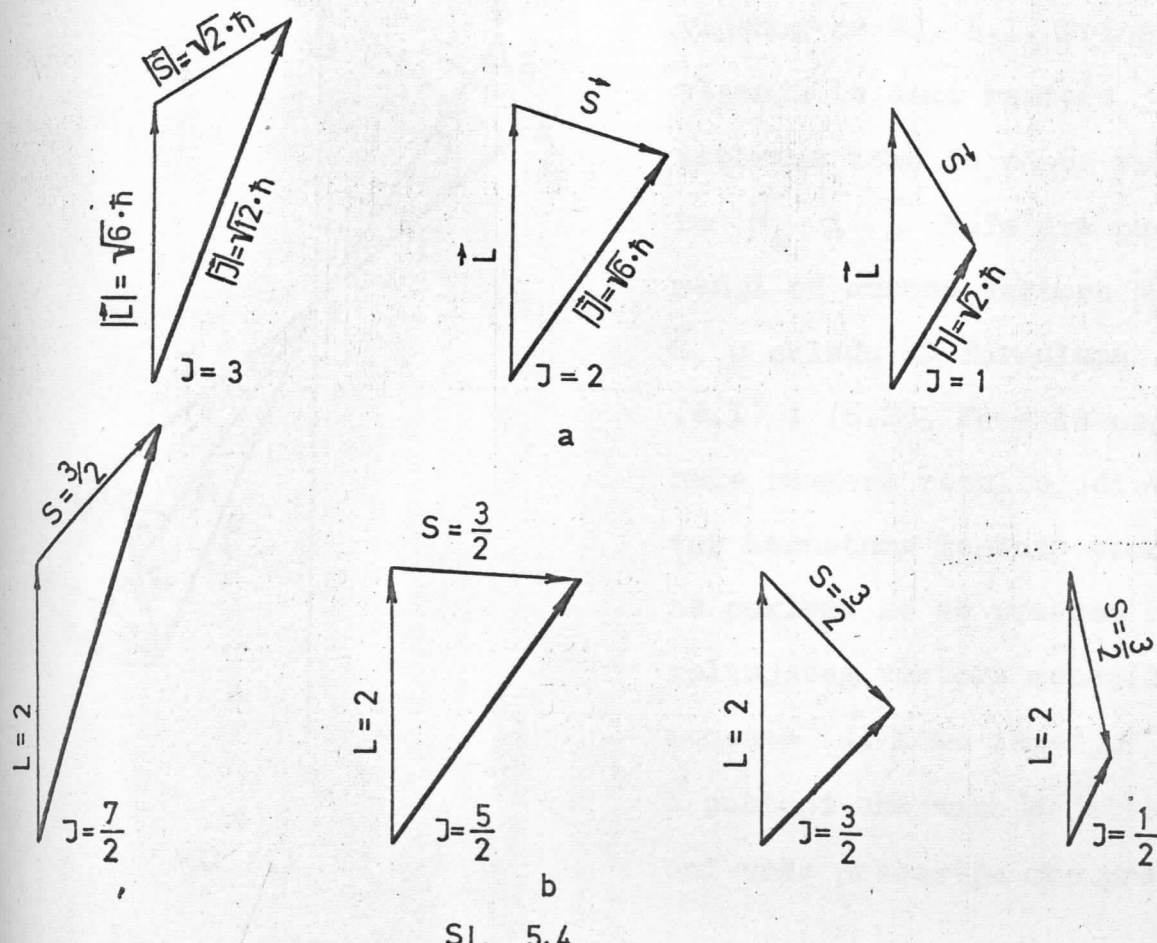
Kvantni broj J može poprimati sledeće vrednosti:

$$J = L + S, L + S - 1, L + S - 2, \dots, L - S \quad (5.14)$$

ako je $L \geq S$, ili

$$J = S + L, S + L - 1, S + L - 2, \dots, S - L \quad (5.15)$$

ako je $S \geq L$. U prvom slučaju ukupan broj vrednosti broja J je $2S + 1$, a u drugom $2L + 1$. Pri tome sledi da će vrednosti broja J biti celi brojevi ako je S celo (tj. pri parnom broju elektrona u atomu) i poluceli brojevi ako je S polucelo (tj. pri neparnom broju elektrona). Na (Sl. 5.4) dat je primer kako se vektori \vec{L} i \vec{S} slažu u rezultantu \vec{J} , i to sa celim i polucelim vrednostima broja J .



Sl. 5.4

6. MAGNETNI MOMENT JEDNOG ATOMA

Ukupni magnetni moment atoma, za slučaj Rasei-Saundersove sprege, izračunaćemo koristeći vezu izmedju momenata količine kretanja \vec{L} i \vec{S} i njihovih odgovarajućih magnetnih momenata $\vec{\mu}_L$ i $\vec{\mu}_S$. Analogno izrazima (2.7) i (4.1) ta veza je

$$\vec{\mu}_L = - \frac{\mu_B}{\hbar} \vec{L} \quad (6.1)$$

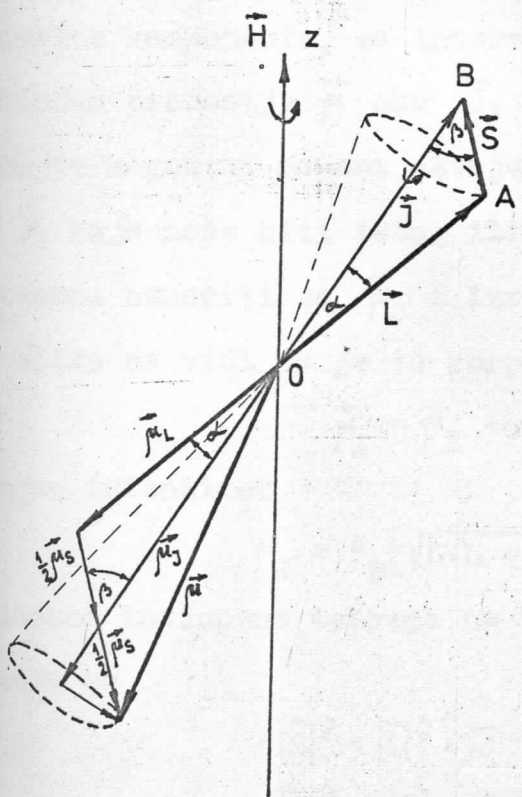
$$\vec{\mu}_S = - 2 \frac{\mu_B}{\hbar} \vec{S} \quad (6.2)$$

Koristeći izraze (5.2) i (5.8), intenziteti ovih magnetnih momenata dati su izrazima

$$\mu_L = \sqrt{L(L+1)} \cdot \mu_B \quad (6.3)$$

$$\mu_S = 2 \sqrt{S(S+1)} \cdot \mu_B. \quad (6.4)$$

Da bi našli rezultujući magnetni moment atoma poslužićemo se i vektorskim modelom atoma koji se nalazi u slabom



Sl. 6.1

magnetnom polju \vec{H} , predstavljenog na Sl. 6.1. Pri pravljenju te šeme razmara je izabrana tako da odnos vektora $\vec{\mu}_L$ i \vec{L} bude dva puta manji od odnosa vektora $\vec{\mu}_S$ i \vec{S} , u skladu sa formulama (6.1) i (6.2). Zbog te nejednakne razmere rezultujući vektor magnetnog momenta atoma $\vec{\mu}$ ne poklapa se sa pravcem rezultujućeg vektora mehaničkog momenta \vec{J} . Kako izmedju \vec{L} i \vec{S} postoji uzajamno dejstvo, oni vrše precesiju oko prav-

ca \vec{J} , "uvlačeći" u tu precesiju i rezultujući vektor magnetnog momenta $\vec{\mu}$. Kako se atom nalazi u slabom magnetnom polju vektor J precesira oko pravca polja tako da njegove projekcije na pravac polja ostaju ne izmenjene

$$|\vec{J}_H| = m_J \cdot \hbar$$

gde m_J uzima vrednosti date izrazom (5.13). Ako je polje slabo (tako da je njegovo dejstvo na $\vec{\mu}_L$ i $\vec{\mu}_S$ znatno slabije od uzajamnog dejstva izmedju $\vec{\mu}_L$ i $\vec{\mu}_S$), tada se precesija vektora \vec{L} i \vec{S} , a time i vektora $\vec{\mu}$, oko pravca \vec{J} vrši daleko većom brzinom nego precesija vektora \vec{J} oko pravca polja \vec{H} . Razložimo, s toga, vektor $\vec{\mu}$ na dve komponente: na paralelnu (duž pravca \vec{J}) i normalnu (normalna na pravac \vec{J}). Srednja vrednost $\vec{\mu}$ jednaka je sumi srednjih vrednosti paralelne i normalne komponente. Međutim, kako je ugao izmedju $\vec{\mu}$ i \vec{J} stalan, srednja vrednost paralelne komponente jednaka je njenoj vrednosti, a srednja vrednost normalne komponente, za interval vremena velik u poređenju sa periodom precesije $\vec{\mu}$ oko \vec{J} , jednaka je nuli. Dakle, kao spoljašnji magnetni moment ostaje samo njegova komponenta duž pravca \vec{J} , koja može biti istog ili suprotnog smera od \vec{J} . Tu ćemo komponentu označiti sa $\vec{\mu}_J$ i izračunaćemo je koristeći (Sl. 6.1).

Sa slike se vidi da je ta komponenta

$$\vec{\mu}_J = \vec{\mu}_L \cos\alpha - \vec{\mu}_S \cos\beta \quad (6.5)$$

a njen intenzitet

$$\mu_J = \mu_B [\sqrt{L(L+1)} \cdot \cos\alpha - 2\sqrt{S(S+1)} \cdot \cos\beta] \quad (6.6)$$

Primenom kosinusne teoreme na trougao OAB sa uglovima α i β dobija se

$$|\vec{S}|^2 = |\vec{L}|^2 + |\vec{J}|^2 - 2|\vec{L}||\vec{J}|\cos\alpha$$

$$|\vec{L}|^2 = |\vec{S}|^2 + |\vec{J}|^2 - 2|\vec{S}||\vec{J}|\cos\beta.$$

Iz ovih izraza je, prelaskom na intenzitete L , S i J

$$\cos \alpha = \frac{L(L+1) + J(J+1) - S(S+1)}{2\sqrt{L(L+1)} \sqrt{J(J+1)}} \quad (6.7)$$

$$\cos \beta = \frac{S(S+1) + J(J+1) - L(L+1)}{2\sqrt{S(S+1)} \sqrt{J(J+1)}} \quad (6.8)$$

Zamenom relacija (6.7) i (6.8) u (6.6) intenzitet magnetnog momenta atoma je

$$\mu_J = \mu_B \left[\frac{\sqrt{L(L+1)} \frac{L(L+1) + J(J+1) - S(S+1)}{2\sqrt{L(L+1)} \sqrt{J(J+1)}}}{2} + \frac{2\sqrt{S(S+1)} \frac{S(S+1) + J(J+1) - L(L+1)}{2\sqrt{S(S+1)} \sqrt{J(J+1)}}}{2} \right].$$

Izvlačenjem ispred člana $\sqrt{J(J+1)}$ može se dalje pisati

$$\begin{aligned} \mu_J = \mu_B \sqrt{J(J+1)} & \left[\frac{L(L+1) + J(J+1) - S(S+1)}{2 J(J+1)} + \right. \\ & \left. + 2 \frac{S(S+1) + J(J+1) - L(L+1)}{2 J(J+1)} \right]. \end{aligned} \quad (6.9)$$

Izraz (6.9) može se srediti i dovesti na oblik

$$\mu_J = \mu_B \sqrt{J(J+1)} \left[1 + \frac{J(J+1) + S(S+1) - L(L+1)}{2 J(J+1)} \right] \quad (6.10)$$

a piše se u skraćenoj formi

$$\mu_J = \mu_B \cdot g_J \cdot \sqrt{J(J+1)} \quad (6.11)$$

gde je

$$g_J = 1 + \frac{J(J+1) + S(S+1) - L(L+1)}{2 J(J+1)} \quad (6.12)$$

i zove se Landeov množitelj. Ovaj množitelj pokazuje kako su pomешani orbitalni ($\vec{\mu}_L$) i spinski ($\vec{\mu}_S$) magnetizam pri formiranju ukupnog magnetnog momenta atoma $\vec{\mu}_J$.

7. MULTIPLETNA STRUKTURA RASEL-SAUNDERSOVIH TERMOVA I SIMBOLI TERMOVA

Videli smo da kod Rasel-Saundersovih spregi momenti mogu na različite načine formirati rezultujući moment \vec{L} , a isto tako različite vrednosti momenta \vec{S} . Isto tako, za date vrednosti kvantnih brojeva L i S broj J može uzeti više vrednosti, datih izrazima (5.14) i (5.15). Sledi da atom sa više elektrona ima veliki broj mogućih stanja. Pošto se ova stanja međusobno razlikuju samo prema uglu između vektora \vec{L} i \vec{S} , odnosno, uglu između vektora $\vec{\mu}_L$ i $\vec{\mu}_S$, njihove energije se razlikuju samo za iznos koji je potreban radi zakretanja oba magnetna momenta međusobno iz jedne orijentacije u drugu.

Kako dati par brojeva L i S definiše prema izrazima (5.14) i (5.15), različite vrednosti kvantnog broja J , to je brojevima L i S definisan multiplet termova koji se nazivaju multipletnim komponentama. Čest su energetske razlike između multipletnih komponenata male pa su spektralne linije, koje odgovaraju emisionim prelazima između takvih komponenata, bliske i nazivaju se multipleti spektralnih linija, odnosno, kako se to često zove, fina struktura spektra.

Uobičajeno je da se Rasel-Saundersovi termovi označavaju izrazom

$$^{2S+1}X_J \quad (7.1)$$

ako je $L > S$, ili

$$^{2L+1}X_J \quad (7.2)$$

ako je $S > L$. Pod X se podrazumeva jedno od slova S, P, D, ... koja odgovaraju, respektivno, vrednostima broja $L = 0, 1, 2, \dots$ U desnom donjem uglu slova X stoji vrednost kvantnog broja J . U gornji levi ugao stavlja se multiplicitet koji je, očigledno, jednak broju multipletnih komponenata, a kojih u prvom slučaju ima $2S+1$ (formula 5.14) i u drugom $2L+1$ (formula 5.15). Na pri-

mer, term $^2D_{3/2}$ se čita: dublet - D - $\frac{3}{2}$.

Odmah se vidi da atom sa parnim brojem elektrona (celo S) ima neparan multiplicitet, a atom sa neparnim brojem elektrona (polucelo S) paran multiplicitet. Za jednoelektronski sistem $S = \frac{1}{2}$ multiplicitet je $2S+1 = 2$ i imamo dubletni sistem termova. Kod dvoelektronskog sistema S ima dve vrednosti, 0 i 1, te su u prvom slučaju termovi singletni, a u drugom tripletni, i td.

Uvodjenjem datih simbola za označavanje termova ne omogućuje, međutim, potpuno raspoznavanje terma. Pošto momenti \vec{l}_i i \vec{s}_i mogu na različite načine formirati sumarno \vec{L} odnosno \vec{S} , a ovi opet daju različite vrednosti J , to jedan atom može posedovati više različitih termova sa istim termskim simbolima (istim L, S, J). Zato je potrebno, pored terma, naznačiti i termove pojedinih elektrona koji ukazuju na poreklo terma. Pri tome se vrednost orbitalnog broja ℓ označava istim, ali malim slovom, kao što je to dato za L:

$$\ell = 0, 1, 2, 3, \dots$$

s p d f ...

Primetimo još da se pri takvom označavanju terma ukazuje i na vrednosti glavnih kvantnih brojeva elektrona koje se stavljaaju ispred slova koja označavaju elektronsko stanje. Ako postoji više elektrona sa istim n i ℓ , tada se njihov broj piše kao "eksponent" na simbolu za ℓ . Na taj način se može potpuno izraziti elektronska konfiguracija (jednog atoma ili jona). Naprimjer, simbol $ls^2 3d^2 D_{5/2}$ znači, da postoji ukupno tri elektrona (zbir eksponenata), od kojih su dva sa glavnim kvantnim brojem $n = 1$ i bez orbitalnog momenta količine kretanja ($\ell = 0$) sa zasićenim (antiparalelnim) spinovima, dok treći elektron ima glavni kvantni broj $n = 3$ i sam daje ukupan spinski kvantni broj ($S = \frac{1}{2}$,

multiplicitet $2S+1 = 2$) i ukupni orbitalni moment količine kre-tanja ($L = \ell = 2$).

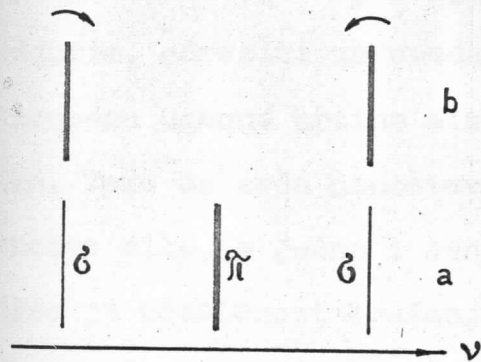
8. ZEMANOV EFEKT

Ako se atomi, koji emituju svetlost, unesu u magnetno polje tada se linije u spektru takvih atoma cepaju na nekoliko komponenata. Ovu pojavu je prvi zapazio holandski fizičar Zeman 1896. god. posmatrajući emisiju pare natrijuma te je po njemu i dobila ime - Zemanov efekt. Cepanje spektralnih linija je veoma malo i zavisi od jačine polja. U polju jačine 0,2 - 0,3 Tesla rastojanje izmedju Zemanovih komponenata iznosi tek nekoliko desetih delova Å. Broj komponenata rascepljene linije različit je za različite linije. Najjednostavniji slučaj imamo kada se dejstvu magnetnog polja na atome, umesto jedne spektralne linije koju atom emituje u odsustvu polja javljaju tri linije i ta pojava se zove normalni Zemanov efekt. Cepanje spektralnih linija može biti daleko složenije i broj komponenata veći od tri te se ovakva pojava naziva anomalni Zemanov efekt.

Zemanov efekt pokušao je da objasni Lorenc pomoću svoje elektronske teorije klasične fizike i uspeo da objasni najjednostavniji slučaj - cepanje linije na tri komponente. Složenije slučajeve, tj. kad je broj komponenata rascepljene linije veći od tri, Lorenc nije mogao objasniti pa je i sama pojava smatrana anomalijom po čemu je i dobila ime.

ZEMANOVOG EFEKTA

Pojavu cepanja spektralnih linija na tri komponente Lorenc je pokušao objasniti na bazi klasične elektrodinamike. Po njegovoj teoriji, spektralna linijska struktura, pri posmatranju u pravcu normalnom na pravac polja, treba da se razloži na tri komponente dajući simetričnu sliku (Sl-9.1a). Rastojanje, u skali u-



Sl-9.1

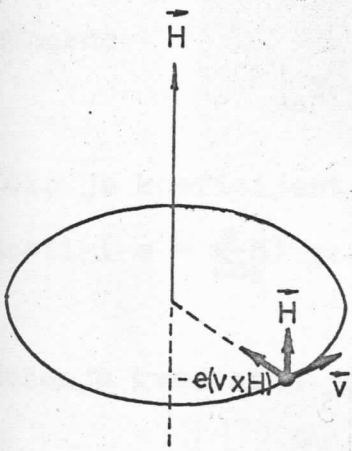
čestanosti, izmedju srednje i jedne od bočnih linija, u jedinicama praktičnog MKSC-sistema, iznosi

$$\Delta \nu = \frac{e}{4\pi m_e} H \quad (9.1)$$

Razdvojene linije treba da se odlikuju linearnom polarizacijom tako da su krajnje linije linearno po-

larizovane u pravcu upravnog na polje, a srednja linijska struktura u pravcu polja. Pri posmatranju u pravcu paralelnom polju srednja linijska struktura treba da nedostaje, a bočne linije treba da se odlikuju

kružnom polarizacijom sa suprotnim smerovima rotacije (Sl-9.1b). Sva ova teorijska predviđanja potvrđena su eksperimentalno, i to sa velikom tačnošću.



Sl-9.2

Posmatrajmo atom vodonika čije jezgro ima nanelektrisanje +e, a oko jezgra kruži elektron

nanelektrisanja -e, po kružnoj orbiti (Sl 9.2). Sila koja održava elektron na orbiti je

$$F = \frac{1}{4\pi\epsilon_0} \cdot \frac{e^2}{r^2} \quad (9.2)$$

Ova sila je izjednačena sa centrifugalnom silom inercije

$$\frac{1}{4\pi\epsilon_0} \frac{e^2}{r^2} = m_e r \omega_0^2 \quad (9.3)$$

gde je ω_0 - učestanost kruženja elektrona u odsustvu magnetnog polja. Uključivanjem polja, na elektron, osim Kulonove sile deluje i Lorencova sila $e(\vec{v} \times \vec{H})$ koja je, kako se vidi, usmerena duž radijusa putanja. Dejstvo magnetnog polja neće se, međutim, odraziti na uvećanje poluprečnika orbite, već samo na promenu ugaone brzine elektrona po putanji stalnog poluprečnika. Tako se sada uspostavlja ravnoteža izmedju Kulonove i Lorencove sile, s jedne i centrifugalne sile, s druge strane, s tim što je učestanost kruženja elektrona sada izmenjena. Označimo novu učestanost sa ω te je

$$\frac{1}{4\pi\epsilon_0} \cdot \frac{e^2}{r^2} + e r \omega H = m_e r \omega^2 \quad (9.4)$$

Zamenom relacije (9.3) u (9.4) dobija se

$$m_e r \omega_0^2 + e r \omega H = m_e r \omega^2$$

odnosno

$$\omega^2 - \frac{eH}{m_e} \omega - \omega_0^2 = 0. \quad (9.5)$$

Kako je koeficijent uz ω jednak dvostrukoj Larmorovoj učestanosti ($\sigma = \frac{eH}{2m_e}$) jednačinu (9.5) možemo pisati u obliku

$$\omega^2 - 2\sigma\omega - \omega_0^2 = 0 \quad (9.6)$$

Rešenja kvadratne jednačine (9.6) su

$$\omega_{1,2} = \sigma \pm \sqrt{\omega_0^2 - \sigma^2} \quad (9.7)$$

Pošto je $\omega_0 \gg \sigma$ možemo pod korenom zanemariti σ^2 u poređenju sa ω_0^2 te je

$$\omega_{1,2} = \sigma \pm \omega_0$$

odnosno

$$\omega_1 = \omega_0 + \sigma \quad \omega_2 = \omega_0 - \sigma \quad (9.8)$$

ω_1 i ω_2 su učestanosti elektrona koji kruži u istom, odnosno u suprotnom smeru kazaljke na satu u magnetnom polju. Prelaskom sa ugaone na linijsku učestanost dobija se da je razlika između učestanosti pre i posle uključivanja polja

$$\Delta\nu = \pm \frac{e}{2\pi} = \pm \frac{e}{4\pi m_e} H \quad (9.9)$$

a to je upravo Lorencova formula (9.1), koja daje pomeranje krajnjih komponenata u odnosu na srednju ne pomerenu komponentu.

10. KVANTNOMEHANIČKO OBJAŠNJENJE ZEMANOVOG EFEKTA

Potpuno objašnjenje Zemanovog efekta, kako normalnog tako i anormalnog, dala je kvantna mehanika. To objašnjenje ćemo na bazi vektorskog modela atoma.

Neka se atomi, kod kojih je ostvarena Rassel-Saunders-ova sprega, nalaze u slabom homogenom magnetnom polju, (Sl 10.1) Ukupni mehanički moment atoma \vec{J} kao i magnetni moment $\vec{\mu}_J$ preceširaju oko pravca polja, a orjentišu se u polju tako da njihove projekcije na pravac polja imaju diskretne vrednosti. Projekci-

je mehaničkog momenta \vec{J} date su relacijom (5.12)

$$|\vec{J}_H| = m_J \cdot h \quad (10.1)$$

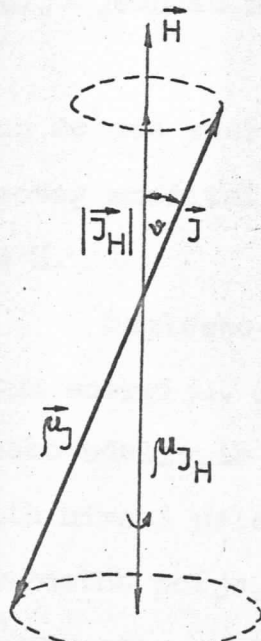
gde je m_J -magnetni kvantni broj i ima vrednosti

$$m_J = J, J-1, J-2, \dots, -J$$

Da bi našli projekcije magnetnog momenta poslužićemo se slikom (Sl-10.1). Sa slike se vidi da je

$$\mu_{JH} = -\mu_J \cos \varphi \quad (10.2)$$

Iz relacija (10.1) i (5.11) sledi da je



Sl-10.1

$$\cos \nu = \frac{m_J}{\sqrt{J(J+1)}} \quad (10.3)$$

i kad u (10.2) zamenimo izraze (6.11) i (10.3) dobija se

$$\mu_{JH} = - m_J g_J \mu_B \quad (10.4)$$

Da bi došlo do pojave Zemanovog efekta magnetno polje nesme biti suviše jako kako bi i spinska i orbitalna interakcija sa poljem bila slabija od spin-orbitalne interakcije unutar atoma. U jakim poljima prva interakcija je jača od druge pa dolazi do raskida sprege izmedju spinskog i orbitalnog momenta količine kretanja i pojave Pašen-Bakovog efekta.

Poznato je da magnetni moment $\vec{\mu}$ u magnetnom polju \vec{H} poseduje energiju

$$E = - \vec{\mu} \cdot \vec{H} + \text{const} = - \mu_H H \cos(\vec{\mu}, \vec{H}) + \text{const} = - \mu_H H + \text{const} \quad (10.5)$$

Zamenom izraza (10.4) u (10.5) magnetni moment atoma u magnetnom polju dobija energiju

$$E_{m_J} = m_J g_J \mu_B H - \text{const} \quad (10.6)$$

Ako konstantu normiramo na nulu (normalan položaj $\vec{\mu}_J$ na \vec{H} ima energiju jednaku nuli) tada je

$$E_{m_J} = m_J g_J \mu_B H \quad (10.7)$$

Vidimo da ova energija zavisi od magnetnog kvantnog broja m_J , Landeovog množitelja g_J i proporcionalna je jačini magnetnog polja H .

Saglasno izrazu (10.7) atom u magnetnom polju dobija dodatnu energiju. Sledi da se termovi atoma cepaju ne $2J+1$, po-djednako udaljenih jedna od druge, Zemanovih komponenata (energetskih nivoa) usled čega i dolazi do cepanja spektralnih linijsa. Magnetno polje, dakle, uklanja energijsku degeneraciju atoma po magnetnom kvantnom broju m_J . Razlika izmedju dve susedne komponente iznosi

$$\Delta E = E_{m_J} - E_{m_J-1} = g_J \mu_B H \quad (10.8)$$

Za stalno magnetno polje vidimo da je rastojanje izmedju Zemanovih komponenata jednog terma odredjeno Landeovim množiteljem g_J .

Izračunaćemo sada cepanje kod Zemanovog efekta. S obzirom na izraz (10.7) ukupna energija nekog atomskog terma u magnetnom polju jačine H iznosi

$$E_H = E_0 + m_J g_J \mu_B H \quad (10.9)$$

gde je E_0 - energija terma u odsustvu polja. Neka se emisija fotona vrši izmedju termova, od kojih polazni ima energiju

$$E'_H = E'_0 + m'_J g'_J \mu_B H \quad (10.10)$$

a krajnji

$$E''_H = E''_0 + m''_J g''_J \mu_B H \quad (10.11)$$

Tada je energija emitovanog fotona jednak razlici ove dve energije

$$h\nu = E'_H - E''_H = E'_0 - E''_0 + (m'_J g'_J - m''_J g''_J) \mu_B H \quad (10.12)$$

Talasni broj emitovanog fotona iznosi

$$\tilde{\nu} = \frac{E'_H - E''_H}{hc} = \frac{E'_0 - E''_0}{hc} + (m'_J g'_J - m''_J g''_J) \frac{\mu_B}{hc} H$$

odnosno

$$\tilde{\nu} = \tilde{\nu}_0 + (m'_J g'_J - m''_J g''_J) \frac{\mu_B}{hc} H \quad (10.13)$$

gde je $\tilde{\nu}_0$ - talasni broj linije emitovane u odsustvu polja. Iz relacije (10.13) vidi se da je razlika talasnog broja bilo koje komponente (linije) i talasnog broja prvobitne (nerascepljene) linije

$$|\Delta\tilde{\nu}| = (m'_J g'_J - m''_J g''_J) \frac{e}{4\pi m_e c} B \quad (10.14)$$

gde je zamenjena vrednost Borovog magnetona (2.8). Ako još izračunamo vrednost konstante

$$\frac{e}{4\pi m_e c} = \frac{1,62 \cdot 10^{-19}}{4 \cdot 3,14 \cdot 9,11 \cdot 10^{-31} \cdot 3 \cdot 10^8} = 0,47 \cdot 10^2 \cdot B \text{ m}^{-1} = 0,47 B \text{ cm}^{-1}$$

tada izraz (10.14) možemo pisati u obliku

$$\Delta \nu = (m_J' g_J' - m_J'' g_J'') \cdot 0,47 \text{ B} \quad [\text{cm}^{-1}] \quad (10.15)$$

gde je magnetna indukcija B izražena u Teslima [T]. Vrednost $\frac{e}{4\pi m_e c}$ predstavlja normalno Lorencovo smicanje. Kako se vidi iz (10.15), rastojanje pojedinih linija -komponenata - od ne rasčepljene zavisi od magnetnog kvantnog broja m_J i Landeovog množitelja g_J , termova izmedju kojih se vrši prelaz i od jačine magnetnog polja, odnosno, magnetne indukcije.

Naglasimo još da za kvantne prelaze kod Zemanovog efekta važe sledeća pravila izbora:

$$\begin{aligned}\Delta m_S &= 0 \\ \Delta m_L &= 0, \pm 1 \\ \Delta m_J &= 0, \pm 1\end{aligned} \quad (10.16)$$

To što se magnetni kvantni broj m_J može menjati maksimalno za jedinicu objašnjava se na sledeći način. Pošto emitovani foton odnosi sa sobom moment koji je jednak jedinici to promena projekcije mehaničkog momenta elektrona, koji emituje foton, nemže biti veća od jedinice.

II. NORMALNI ZEMANOV EFEKT

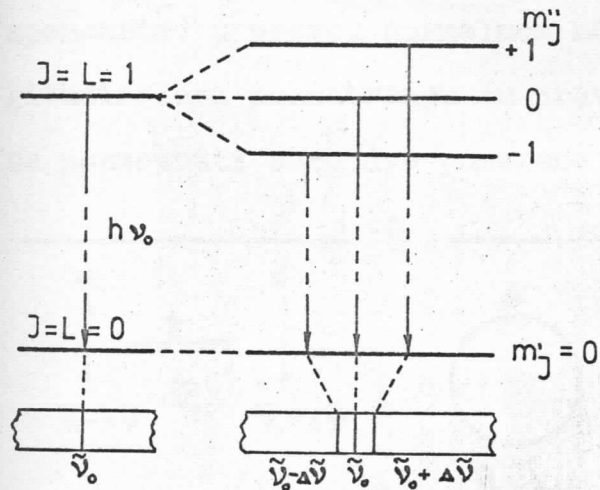
Kako smo već ranije kazali, normalni Zemanov efekt sastoji se u tome da se, pri dejstvu magnetnog polja, pored linije koju atom emituje u udsustvu polja, javljaju još dve simetrično postavljene linije (Sl-II.1). Ovakvo cepanje linija javlja se u singletnim termovima, kakve poseduju He, zemnoalkalni metali, zatim Zn, Cd i Hg. Kako je za singletne termove $2S + 1 = 1$ sledi da je spinski kvantni broj $S = 0$ i $J = L$ te je prema (6,12) $g_J = 1$. Pošto je i $g_J' = 1$ i $g_J'' = 1$ to je, prema relaciji (10.15), razlika u talasnim brojevima izmedju susednih komponenata

$$\Delta \tilde{\nu} = (m_J' - m_J'') \cdot 0,47 \text{ B} = \Delta m_J \cdot 0,47 \text{ B} \quad [\text{cm}^{-1}] \quad (11.1)$$

Prema pravilima izbora (10.16) Δm_J može imati tri vrednosti (-1, 0, +1), pa su talasni brojevi triju komponenata (linija) kod normalnog Zemanovog efekta

$$\tilde{\nu}_{+1} = \tilde{\nu}_0 + 0,47 B; \quad \tilde{\nu}_0; \quad \tilde{\nu}_{-1} = \tilde{\nu} - 0,47 B \quad (11.2)$$

Dakle, srednja komponenta (linija) ostaje na mestu prvobitne linije dok su druge dve pomerene, jedna u levo, a druga u desno



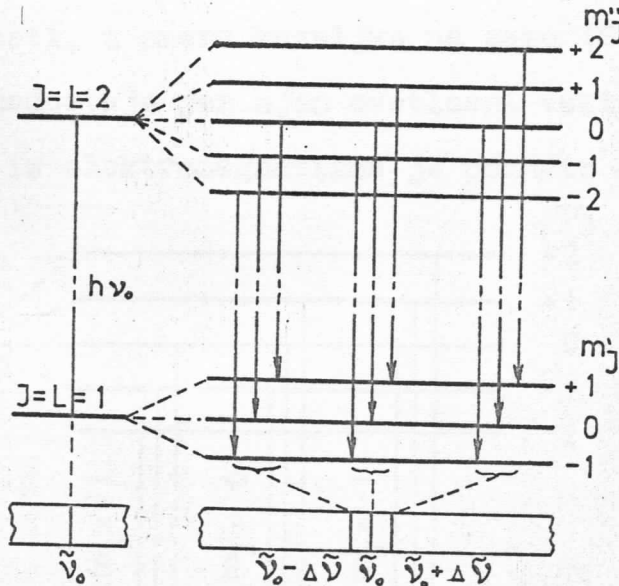
Sl-11.1

za vrednost normalnog Lorensovog smicanja pomnoženog magnetnom indukcijom.

Na (Sl-11.1) pokazano je cepanje nivoa i spektralne linije za prelaz izmedju stanja $L=1$ i $L=0$ (za P-S prelaz).

Posmatrajmo sada cepanje linije koja odgovara D-P prelazu,

(Sl-11.2). Iako ovde ima devet dozvoljenih emisionih prelaza izmedju razlicitih energetskih nivoa, oni se ipak grupisu u samo tri spektralne linije (komponente sa razlicitim frekvencijama,

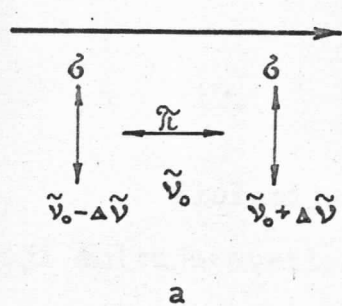


Sl-11.2

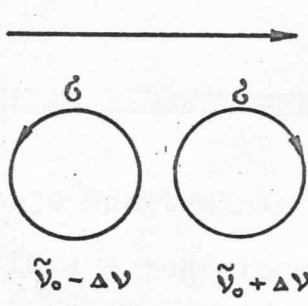
odnosno, talasnim brojevima datih relacijom (11.2). Uzrok tome je ekvidistantnost komponenata kod oba terma.

Eksperiment pokazuje da su razdvojene linije kod no-

rmalnog Zemanovog efekta polarizovane, a da karakter polarizacije zavisi od pravca posmatranja, (Sl-11.3). Pri transverzalnom posmatranju (tj. pri posmatranju u pravcu normalnom na pravac vektora \vec{B}) svetlosni vektor (vektor električnog polja) ne-pomerene komponente (koja se zove π -komponenta) osciluje u pravcu paralelnom vektoru \vec{B} , a kod pomerenih komponenata (δ -komponenata) u pravcu normalnom na vektor B (Sl-11.3a). Pri longitudinalnom posmatranju (u pravcu paralelnom vektoru \vec{B}) mogu se posmatrati samo dve pomerene komponente. Obe su kružno po-



a

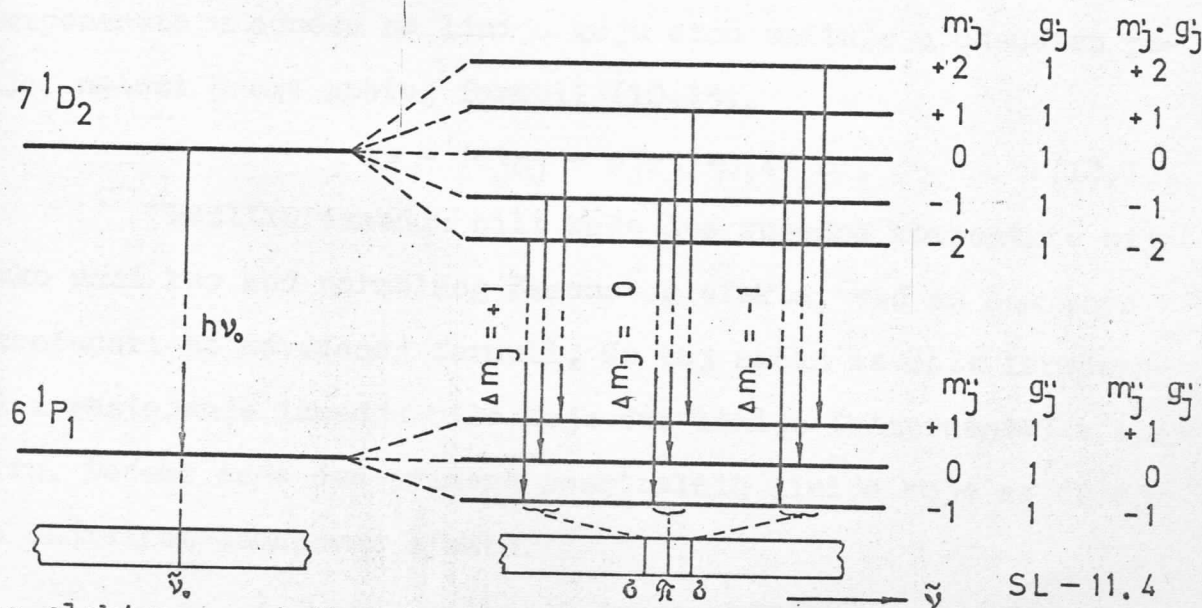


b

larizovane, ali u suprotnim smerovima:
ona koja je pomerenata u stranu manjih učestanosti suprotno kazaljki na satu, a druga, pomerena u

Sl-11.3

stranu većih učestanosti, u smeru kazaljke na satu (Sl-11.3b). Srednja komponenta nedostaje jer njen svetlosni vektor osciluje u pravcu polja, a iz elektromagnetizma je poznato da je jači-



na elektromagnetsnih talasa, koji se emituju u pravcu oscilovanja dipola, jednaka nuli.

SL-11.4

Navećemo sada konkretan primer spektralne linije koja se cepa po normalnom Zemanovom efektu. To je plava linija Hg, $\lambda = 4347,50 \text{ \AA}$, koja nastaje pri emisionom prelazu izmedju termova $7^1\text{D}_2 - 6^1\text{P}_1$, (Sl-11.4). Term 7^1D_2 cepta se, u magnetnom polju, na pet komponenata, a term 6^1P_1 na tri komponente razlicitih energija. Iako ovde postoji devet razlicitih dozvoljenih emisionih prelaza, izmedju razlicitih energetskih nivoa, oni se ipak grupisu u samo tri spektralne linije (komponente) jer su komponente kod oba terma ekvidistantne (relacija 10.8).

12. ANOMALNI ZEMANOV EFEKT

Slozenije cepanje spektralnih linija, kada se atomi, koji emituju svetlost nalaze u magnetnom polju, naziva se anomalni Zemanov efekt. Javlja se kod linija koje poseduju finu strukturu, tj. kod linija koje odgovaraju emisionim prelazima izmedju multipletnih termova, dubleta, tripleta, kvarteta i td. Kod ovih termova spinski kvantni broj S razlicit je od nule, te se i on mora uzeti u obzir. Tada je i $g_J \neq 1$, pa se smicanje komponenata u odnosu na liniju koju atom emituje u odsustvu polja, nalazi prema opstojoj formuli (10.15),

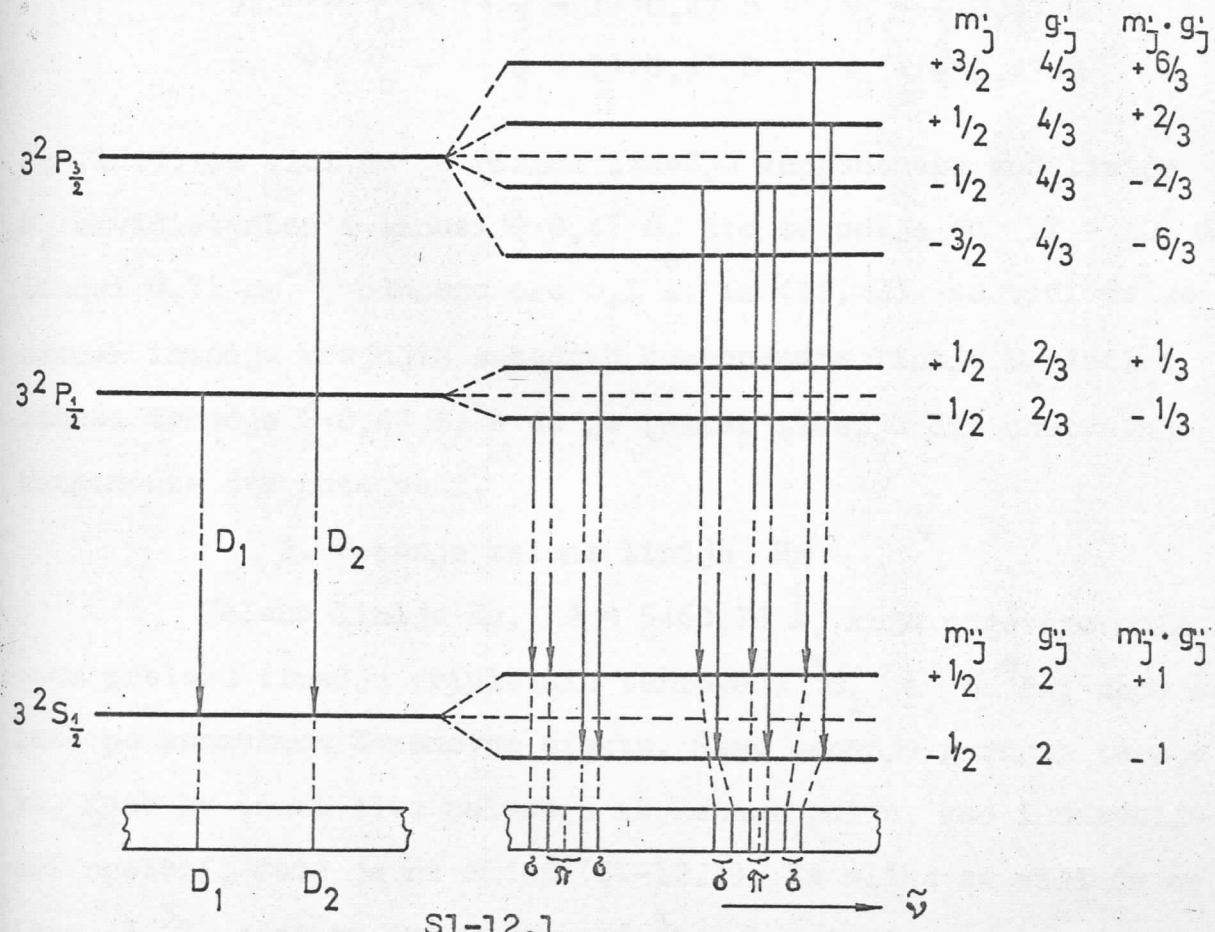
$$\Delta\nu = (m_J'g_J' - m_J''g_J'') \cdot 0,47 B . \quad (12.1)$$

Razliku izmedju bili koje dve susedne komponente nije lako naci kao kod normalnog Zemanovog efekta, vec se ona mora izracunati po navedenoj formuli. Na taj način se može izracunati i rastojanje izmedju bilo koje dve linije (komponente) u spektru. Daćemo sada dva primera spektralnih linija koje se cepaju po anomalnom Zemanovom efektu.

1. Cepanje linija žutog natrijumovog dubleta

Šema cepanja ovih linija prikazana je na (Sl-12.1).

Sa slike se vidi da se linija D_1 , $\lambda = 5895,93 \text{ \AA}$, koja odgovara prelazu $3^2P_{3/2} - 3^2S_{1/2}$, cepta na četiri komponente, a linija D_2 , $\lambda = 5889,96 \text{ \AA}$, koja odgovara prelazu $3^2P_{3/2} - 3^2S_{1/2}$, cepta se na šest komponenata. Takodje se vidi da na mestu linijsa D_1 i D_2 , koje atomi natrijuma emituju u odsustvu polja, nema ni jedne linije i ta mesta su označena isprekidanim linijsama. Kod rascepljene linije D_1 , unutrašnje dve komponente su π -komponente, a krajnje dve δ -komponente. Kod rascepljene linije D_2 imamo dve π -komponente i četiri δ -komponente. Polarizacija π i δ -komponenata ista je kao i kod normalnog Zemanovog efekta. Smicanje komponentnih linijsa u odnosu na prvobitnu liniju, izraženo u jedinicama normalnog Lorencovog smicanja, kod linijsa D_1 iznosi $-\frac{4}{3}, -\frac{2}{3}, +\frac{2}{3}, +\frac{4}{3}$, a kod linijsa D_2 $-\frac{5}{3}, -\frac{3}{3}, -\frac{1}{3}, +\frac{1}{3}, +\frac{3}{3}, +\frac{5}{3}$.



Talasni brojevi odgovarajućih komponenata, prema relacijama (10.4) i (10.15) su:

a) za liniju D_1

$$\begin{aligned} 1. \tilde{\nu} &= \tilde{\nu}_o + \left(-\frac{1}{3} - 1\right) \cdot 0,47 B = \tilde{\nu}_o - \frac{4}{3} \cdot 0,47 B \\ 2. \tilde{\nu} &= \tilde{\nu}_o + \left(+\frac{1}{3} - 1\right) \cdot 0,47 B = \tilde{\nu}_o - \frac{2}{3} \cdot 0,47 B \\ 3. \tilde{\nu} &= \tilde{\nu}_o + \left(-\frac{1}{3} + 1\right) \cdot 0,47 B = \tilde{\nu}_o + \frac{2}{3} \cdot 0,47 B \\ 4. \tilde{\nu} &= \tilde{\nu}_o + \left(+\frac{1}{3} + 1\right) \cdot 0,47 B = \tilde{\nu}_o + \frac{4}{3} \cdot 0,47 B \end{aligned} \quad (12.2)$$

b) za liniju D_2

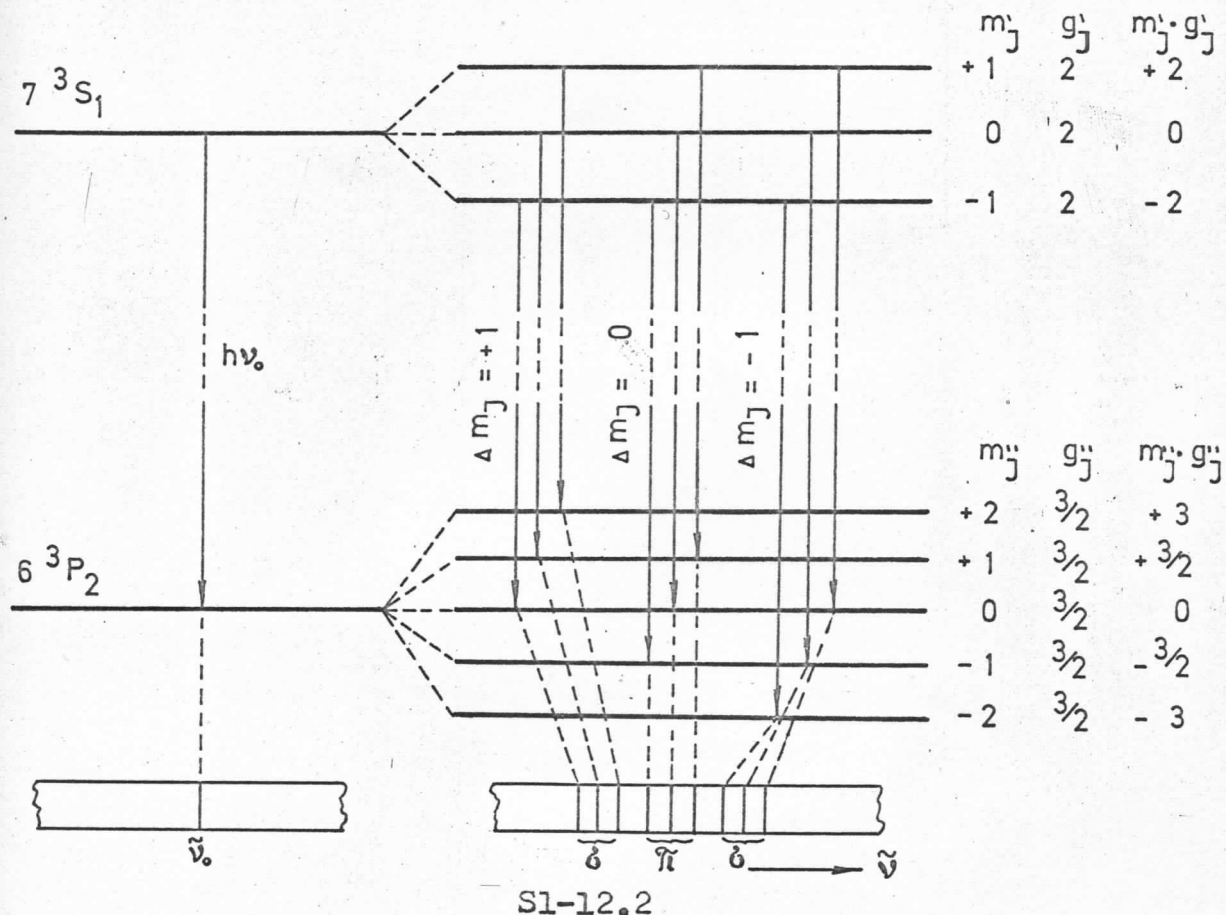
$$\begin{aligned} 1. \tilde{\nu} &= \tilde{\nu}_o + \left(-\frac{2}{3} - 1\right) \cdot 0,47 B = \tilde{\nu}_o - \frac{5}{3} \cdot 0,47 B \\ 2. \tilde{\nu} &= \tilde{\nu}_o + \left(-\frac{6}{3} + 1\right) \cdot 0,47 B = \tilde{\nu}_o - \frac{3}{3} \cdot 0,47 B \\ 3. \tilde{\nu} &= \tilde{\nu}_o + \left(+\frac{2}{3} - 1\right) \cdot 0,47 B = \tilde{\nu}_o - \frac{1}{3} \cdot 0,47 B \\ 4. \tilde{\nu} &= \tilde{\nu}_o + \left(-\frac{2}{3} + 1\right) \cdot 0,47 B = \tilde{\nu}_o + \frac{1}{3} \cdot 0,47 B \quad (12.3) \\ 5. \tilde{\nu} &= \tilde{\nu}_o + \left(+\frac{6}{3} - 1\right) \cdot 0,47 B = \tilde{\nu}_o + \frac{3}{3} \cdot 0,47 B \\ 6. \tilde{\nu} &= \tilde{\nu}_o + \left(+\frac{2}{3} + 1\right) \cdot 0,47 B = \tilde{\nu}_o + \frac{5}{3} \cdot 0,47 B \end{aligned}$$

Iz (12.3) se vidi da je razmak izmedju komponenata kod linije D_2 ekvidistantan i iznosi $\frac{2}{3} \cdot 0,47 B$, sto za polje od $1T = 10^4 G$ iznosi $0,31 \text{ cm}^{-1}$, odnosno oko $0,1 \text{ \AA}$. Iz (12.2) se vidi da je razmak izmedju krajnjih susednih komponenata linije D_1 isti i iznosi takodje $\frac{2}{3} \cdot 0,47 B$, a da je razmak izmedju dve unutrašnje komponente dva puta veći.

2. Cepanje zelene linije Hg

Zelena linija Hg , $\lambda = 5460,74 \text{ \AA}$, koja odgovara emisijom prelazu izmedju tripletnih termova 7^3S_1 i 6^3P_2 , cepta se isto po anomalnom Zemanovom efektu. Šema cepanja gornjih termova, kada se atomi žive nalaze u magnetnom polju, kao i dozvoljeni prelazi, data je na slici (Sl-12.2). Sa slike se vidi da se term 7^3S_1 cepa na tri, a term 6^3P_2 na pet komponenata (energetskih nivoa) i da postoji devet dozvoljenih emisionih prela-

za izmedju ovih nivoa. Energije ovih prelaza različite su međusobno, što znači da se zelena linija Hg, kada se atomi žive nalaze u magnetnom polju, cepta na devet linija (komponenata).



Ove linije u spektru su međusobno ekvidistantne sa razmakom izmedju susednih od $\frac{1}{2} \cdot 0,47$ B, a to za magnetnu indukciju od $1T = 10^4$ G iznosi $0,235 \text{ cm}^{-1}$, odnosno oko $0,08 \text{ } \overset{\circ}{\text{A}}$. Javlja se tri π -komponente i šest δ -komponenata, čije su osobine polarizacije i mogućnosti posmatranja iste kao i kod prethodnih primera. Pošto je cepanje ove linije posmatrano u eksperimentalnom delu ovog rada, talasne brojeve svih devet komponenata, kao i razmak izmedju njih, daćemo u tom delu.

zurückgeworfen und die entsprechenden Ergebnisse der Untersuchungen sind im folgenden Absatz ausführlich erläutert.

Die von mir vorgenommenen Versuche beruhen auf dem Prinzip der elektrolytischen Zersetzung von Säuren und Ionen und bestehen darin, dass die zersetzten Säuren durch die Wirkung eines elektrischen Stromes in zwei Anteile unterteilt werden, die durch die Anwendung eines magnetischen Feldes voneinander getrennt werden.

1. Die Zersetzung von Wasserstoff

a) Versuch 1

b) Versuch 2

c) Versuch 3

d) Versuch 4

e) Versuch 5

Die Versuche zeigen, dass die Zersetzung von Wasserstoff durch die Anwendung eines magnetischen Feldes in zwei Anteile unterteilt werden kann, die durch die Anwendung eines elektrischen Stromes voneinander getrennt werden können. Die Anwendung eines elektrischen Stromes auf Wasserstoff führt zu einer Zersetzung in zwei Anteile, die durch die Anwendung eines magnetischen Feldes voneinander getrennt werden können.

2. Die Zersetzung von Wasserstoff durch die Anwendung eines elektrischen Stromes

E K S P E R I M E N T A L N I D E O

Die Versuche zeigen, dass die Zersetzung von Wasserstoff durch die Anwendung eines elektrischen Stromes in zwei Anteile unterteilt werden kann, die durch die Anwendung eines magnetischen Feldes voneinander getrennt werden können.

3. Die Zersetzung von Wasserstoff durch die Anwendung eines magnetischen Feldes

13. UREDJAJI ZA POSMATRANJE ZEMANOVOG EFEKTA

Osnovu aparature za posmatranje Zemanovog efekta čine svetlosni izvor, uredjaj za dobijanje magnetnog polja i spektralni uredjaj velike moći razlaganja.

1. Kao svetlosni izvori koriste se najčešće cevi za električno pražnjenje u kojima se ispitivani element nalazi u atomskom stanju. Pritisak u cevima je mali (oko 5mm Hg) kako bi se izbeglo Štarkovo širenje spektralnih linijsa. Mi smo koristili živinu lampu tipa NK 4/4 firme HANAU. Električni podaci lampi su:

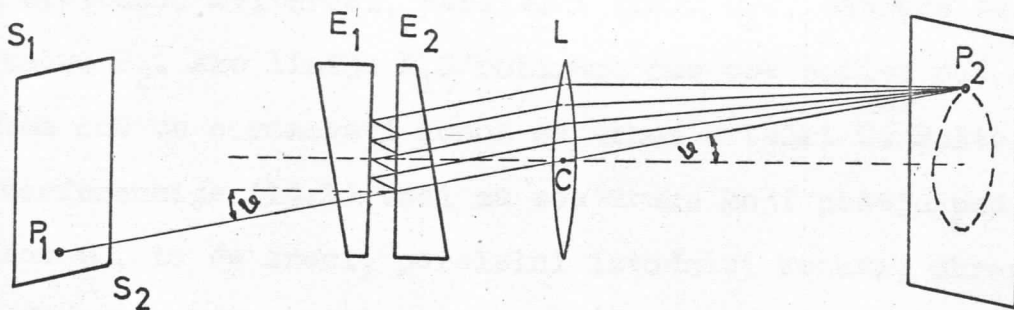
- a) struja - naizmenična
- b) napon - 1000 V
- c) snaga - 4 W
- d) napon na lampi - 200 V
- e) struja kroz lampu - 0,02 A .

2. Uredjaj za dobijanje magnetnog polja je najčešće elektromagnet ili permanentni magnet koji može obezbediti magnetsko polje potrebne jačine. Mi smo koristili elektromagnet, a kao izvor jednosmerne struje kojim su napajani kalemovi elektromagneta, olovni akumulator napona 12 V i jačine struje 12 A, tako da je maksimalna magnetna indukcija iznosila 0,9 T .

3. Kao spektralni uredjaji koriste se najčešće uredjaji sa optičkom rešetkom (spektrograf, spektroskop, spektrofotometar) koji imaju veliku disperziju ($0,1 \text{ \AA/mm}$) i veliku moć razlaganja ili neki interferometar, kao što je Fabri-Pero-ov. Mi smo koristili Fabri-Pero-ov interferometar, engleske firme EALING, te ćemo s toga dati njegov detaljniji opis.

14. FABRI-PERO-OV INTERFEROMETAR

Ovaj najrasprostranjeniji tip interferometra razvili su Fabri i Perot 1897. god. Sastoji se od dve ravne planparalelne ploče (E_1 E_2) koje delimično reflektuju svetlost, postavljene kako je to prikazano na Sl-14.1. Ove ploče se još zovu Fabri-Pero-ov etalon. Interferentna slika koju daje ovaj interferometar sastoji se iz niza koncentričnih prstenova (Sl-14.2).



Sl.14.1

Jednostavniji oblik etalona se sastoji iz dve staklene ili kvarcne ploče razdvojene prstenastim umetkom koji održava paralelnost ploča na stalnom rastojanju d . Pošto je, međutim, u toku rada potrebno imati različito rastojanje ploča, to se najčešće prave interferetri kod kojih je jedna ploča fiksirana, a druga se može pomerati u odnosu na prvu pomoću nekog nosača, tako da se ovo pomeranje može očitavati na mikrometarskom zavrtnjusu.

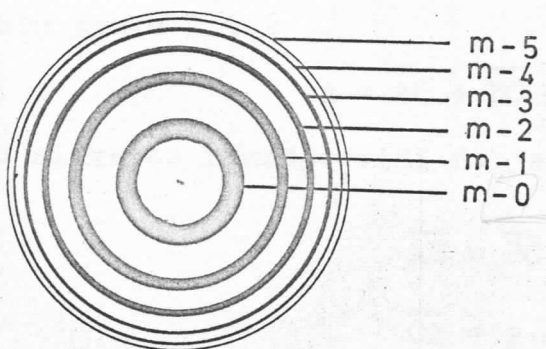
Pogledajmo sada kako se formira interferentna slika kod Fabri-Pero-ovog interferometra. Neka svetlost sa većeg svetlosnog izvora monohromatske svetlosti (S_1 S_2) pada na ploče etalona (E_1 E_2). Zrak, koji polazi iz tačke P_1 i pada pod uglom ν na površine ploča, postaje izlomišten usled refleksije i pretvara se u seriju paralelnih zraka propuštenih kroz etalon. Iza

ploča etalona stoji sočivo L koje paralelne zrake dovodi zajedno u tačku P_2 na ekranu AB. Da bi došlo do maksimalnog pojačanja zraka u tački P_2 mora biti zadovoljen uslov interferencije

$$2 \cdot d \cdot \cos \nu = m \cdot \lambda \quad (14.1)$$

gde je d -rastojanje medju pločama, λ -talasna dužina svetlosnog zraka, a m -red interferencije (broj talasnih dužina koje čine putnu razliku dva susedna paralelna zraka pri njihovom izlasku iz etalona). Svi zraci, paralelni zraku P_1C , sabraće se, takodje u tačku P_2 . Ako liniju P_1C rotiramo oko ose sočiva pod stalnim uglom ona će obrazovati konus sa vrhom u tački C. Pošto zakon interferencije (14.1) važi za sve zrake koji padaju pod istim uglom ν , to će zraci, paralelni izvodnici konusa, obrazovati na ekranu kontinuirani niz svetlih tačaka, a geometrijsko mesto tih tačaka je prsten na ekranu. Smanjivanjem ugla ν kosinus se povećava sve dok se prema (14.1) ne postigne uslov za sledeći maksimum kada nastaje drugi prsten, sa redom interferencije koji je za jedinicu veći od m . Tako se za maksimalne interfe-

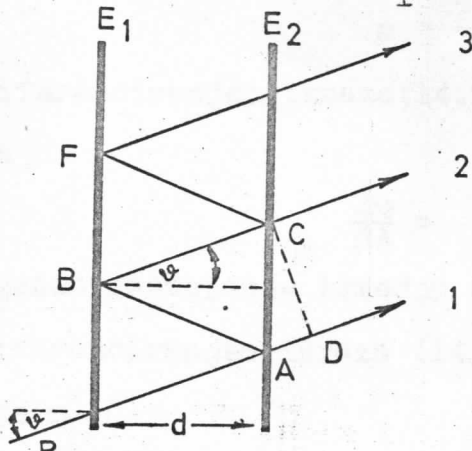
ncije dobija serija koncentričnih svetlih prstenova na ekranu sa centrom u tački O, (Sl-14.2). Pošto se kosinusi ne menjaju linearno sa uglom ν to se ni poluprečnici prstenova neće menjati linearno i prstenovi se, idući od centra, sve više zgušnjavaju.



Sl-14.2

Da bi dokazali jednačinu (14.1), koja daje uslov za maksimum interferencije, poslužićemo se uvećanom slikom etalona Fabri-Pero-ovog interferometra (Sl-14.3). Neka zrak mono-

hromatske svetlosti, talasne dužine λ , iz tačke P_1 pada pod ugлом ν na površinu E_1 . Pri prolasku kroz E_1 zrak pada u tačku A ploče E_2 . Ovaj zrak delimično prolazi kroz ploču E_2 (zrak 1), a delimično se reflektuje tako, da reflektovani zrak pada, u tačku B ploče E_1 . U tački B opet dolazi do delimične



Sl-14.3

refleksije tako da nastaje zrak BC koji delimično prolazi kroz ploču E_2 (zrak 2). Ovaj se proces nastavlja tako da iza ploče E_2 imamo sistem paralelnih zraka (1, 2, 3, ...). Ako se svi ovi zraci pomoću sočiva sakupe u tačku P_2 na ekranu, dolazi do

njihove interferencije. Da bi došlo do maksimalnog pojačavanja putna razlika izmedju dva susedna zraka mora biti jednaka celobrojnom umnošku talasnih dužina propuštene svetlosti. Ako uzmemmo da je indeks prelamanja vazduha, koji se nalazi izmedju ploča etalona, jednak jedinici i ako zanemarimo putnu razliku koju unosi sočivo tada se sa slike 14.3 vidi da je razlika u optičkom putu zraka 1 i 2

$$\Delta = \overline{AB} + \overline{BC} - \overline{AD}. \quad (14.2)$$

Sa slike se takođe vidi da je

$$\overline{AB} = \overline{BC} = \frac{d}{\cos \nu} \quad (14.3)$$

$$\overline{CA} = 2 \cdot d \cdot \operatorname{tg} \nu \quad (14.4)$$

$$\overline{AD} = \overline{CA} \sin \nu = 2 \cdot d \cdot \operatorname{tg} \nu \cdot \sin \nu = 2d \cdot \frac{\sin^2 \nu}{\cos \nu} \quad (14.5)$$

te zamenom izraza (14.3) i (14.5) u (14.2) se dobija

$$\Delta = \frac{2d}{\cos \nu} - \frac{2d \cdot \sin^2 \nu}{\cos \nu} = \frac{2d}{\cos \nu} (1 - \sin^2 \nu) = \frac{2d}{\cos \nu} \cos^2 \nu = 2d \cos \nu. \quad (14.6)$$

Ova putna razlika ista je i za sledeće susedne zrake tako da u-

slav za maksimalno pojačavanje zraka u tački P_2 je

$$2d \cdot \cos v = m \cdot \lambda. \quad (14.7)$$

Pošto kod Fabri-Pero-ovog interferometra zraci padaju približno normalno na ploče etalona to je ugao $v \approx 0$, a $\cos v \approx 1$ pa iz (14.7) možemo izračunati red maksimuma interferencije

$$m = \frac{2d}{\lambda}. \quad (14.8)$$

Diferenciranjem izraza (14.7) dobija se ugaona disperzija etalona

$$\frac{dv}{d\lambda} = - \frac{m}{2d \cdot \sin v}. \quad (14.9)$$

Ugaono rastojanje izmedju susednih prstenova se, takodje, nalazi diferenciranjem izraza (14.7) po ugлу v i po redu interferencije m

$$2d \cdot \sin v \Delta v = - \Delta m \cdot \lambda. \quad (14.10)$$

Ako uzmemo da je $\Delta m = -l$ (promena reda interferencije za jedinicu) tada je

$$\Delta v = \frac{\lambda}{2d \cdot \sin v}. \quad (14.11)$$

Linearna veličina slobodnog spektralnog intervala, odredjena rastojanjem izmedju susednih prstenova i izražena u jedinicama talasnih dužina iznosi

$$\Delta \lambda = \Delta v \frac{d\lambda}{dv}. \quad (14.12)$$

Zamenom (14.9) i (14.11) u (14.12) dobija se (ne uzimajući u obzir znak)

$$\Delta \lambda = \frac{\lambda}{m}. \quad (14.13)$$

Ako m iz (14.8) (za $\cos v \approx 1$) zamenimo u (14.13) dobija se za slobodni spektralni interval

$$\Delta \lambda = \frac{\lambda^2}{2d}. \quad (14.14)$$

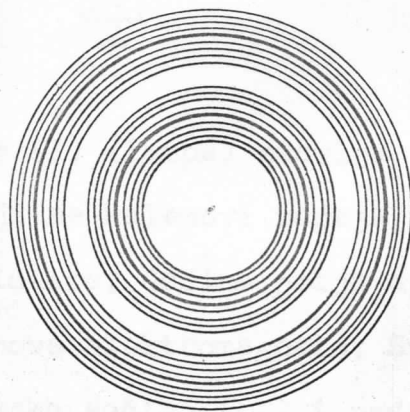
Pošto je talasni broj vezan sa talasnom dužinom relacijom $\tilde{v} = \frac{1}{\lambda}$ to se diferenciranjem dobija

$$\Delta \tilde{v} = - \frac{1}{\lambda^2} \Delta \lambda. \quad (14.15)$$

Izostavljajući znak (-) i zamenom $\Delta\lambda$ iz (14.14) dobija se veličina slobodnog spektralnog intervala izražena u jedinicama talasnog broja cm^{-1}

$$\Delta \tilde{\nu} = \frac{1}{2d} . \quad (14.16)$$

Širina slobodnog spektralnog intervala je veoma važna prilikom proučavanja Zemanovog efekta i hiperfine strukture spektralnih linija. Ukupna širina svih komponenata rascepljene linije nesme biti veća od širine slobodnog spektralnog intervala. U protivnom dolazi do prepoklapanja komponenata susednih re-



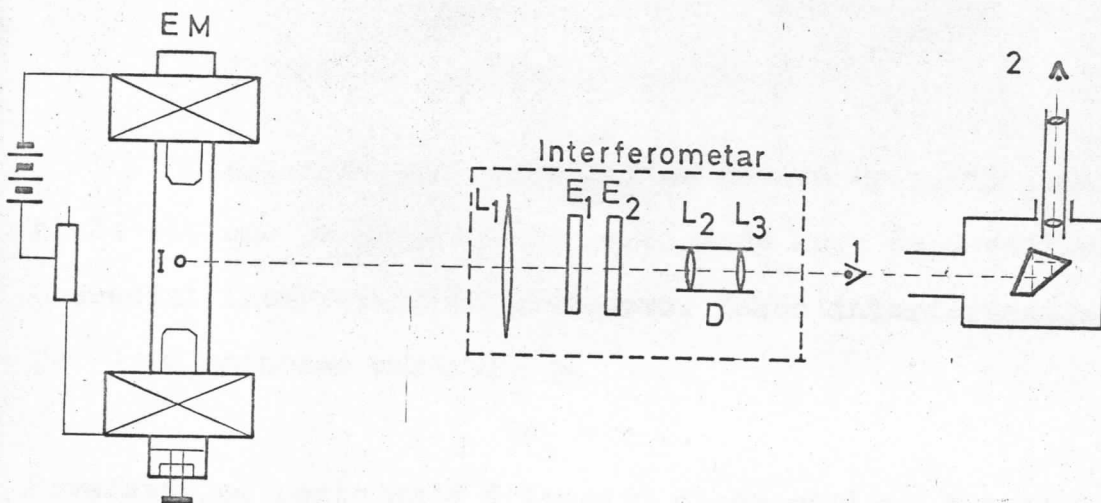
Sl-14.4.

dova interferencije. Zbog toga se mora predhodno izračunati širina slobodnog spektralnog intervala, a zatim se odredi jačina magnetnog polja koja se može upotrebiti u konkretnom slučaju. Na slici 14.4 data je šema cepanja interferentnih

prstenova zelene linije Hg na devet Zemanovih komponenata.

Spektri svetlosnih izvora, koji se koriste, redovno sadrže više spektralnih linija tako da interferentni prstenovi svih linija imaju zajednički centar. Da bi se izdvojila željena linija koriste se pogodni filtri ili se iza ploča etalona stavlja prizma, (Sl.14.5), čime se centri prstenova za pojedine spektralne linije međusobno smiču. Naravno, ovo je moguće ako se spektralne linije dovoljno razlikuju u talasnim dužinama. Na taj način je dobijen spektar žive, dat na Fot. 5a Str. 51. Spektar je snimljen spektroskopom Ofičine-Galileo bez kolimatora. Korišćenjem kolimatora, tj. puštanjem svetlosti sa etalona na široku ulaznu pukotinu, dobija se slika kao na Fot. 1 i 3 Str.50.

Na kraju ćemo dati šematski prikaz uređaja kojima se vrši posmatranje Zemanovog efekta (Sl.14.5). Svetlosni iz-



Sl-14.5

vor (I) (lampa) stavlja se izmedju polova elektromagneta (EM) čiji se kalemovi napajaju jednosmernom strujom iz olovnog akumulatora. Jačina polja se menja promenom jačine struje kroz kalemove elektromagneta. Svetlost od izvora prolazi kroz kondenzorsko sočivo (L_1) i pada na ploče etalona ($E_1 E_2$). Interferentna slika se može posmatrati vizuelno pomoću durbina sa sočivima (L_2) i (L_3) gde sočivo (L_2) formira interferentne prstene, a sočivo (L_3) služi kao lupa. Uklanjanjem durbina i postavljanjem spektroskopa (Oficine-Galileo) bez kolimatora i sa kolimatom vidi se slika kao što je na priloženim fotografijama na Str.50 i 51.

E K S P E R I M E N T A L N I R E Z U L T A T I

I BAŽDARENJE MIKROMETARSKE SKALE

Mikrometarski zavrtanj se doveđe na nulti podeok, a ploče etalona se doteraju na rastojanje koje daje svetlu tačku u sredini interferentnih prstenova. Zakon interferencije, kada je $\psi \approx 0$, odnosno $\cos \psi \approx 1$ je

$$2d_m = m \cdot \lambda. \quad (I-1)$$

Povećavanjem rastojanja d između ploča etalona dok se ne pojavi nova svetla tačka u sredini dolazi se do sledećeg reda interferencije koji je za jedinicu veći od m , te je

$$2d_{m+1} = (m + 1) \lambda. \quad (I-2)$$

Oduzimanjem od izraza (I-2) izraz (I-1) dobija se

$$\Delta d = d_{m+1} - d_m = \frac{\lambda}{2}. \quad (I-3)$$

Dakle, promeni reda interferencije za jedinicu odgovara promena rastojanja između ploča etalona od pola talasne dužine svetlosti koja se posmatra. Sada se pomeranjem mikrometarskog zavrtinja povećava rastojanje između ploča etalona i broje novonastali redovi interferencije. Kao izvor svetlosti služi nam živina lampa, a filtrom je izdvojena zelena linija talasne dužine $\lambda = 5460, 74 \text{ } \overset{\circ}{\text{A}}$. Pomeranjem mikrometarskog zavrtinja za 1 mm uzdužne skale izbroje se 702 nova reda interferencije, što znači da se rastojanje između ploča etalona povećalo za

$$\Delta d = 702 \cdot \frac{\lambda}{2} = 702 \cdot \frac{5460,74 \cdot 10^{-8}}{2} = 0,01916 \text{ cm} = 0,1916 \text{ mm}.$$

Kako jednom milimetru uzdužne skale mikrometarskog zavrtinja odgovara 100 podeoka kružne skale to sledi da jednom podeoku kružne skale odgovara 100 puta manja promena rastojanja ploča etalona.

II IZRAČUNAVANJE SLOBODNOG SPEKTRALNOG INTERVALA

Kada se mikrometarski zavrtanj dovede na nulti podeok izmereno rastojanje izmedju ploča etalona iznosi

$$d = (0,36 \pm 0,01) \text{ cm}. \quad (\text{III-1})$$

Slobodni spektralni interval prema relaciji (14.16) je

$$\Delta \tilde{\nu} = \frac{1}{2d} = 1,388 \text{ cm}^{-1}. \quad (\text{III-2})$$

Izračunavanjem greške dobija se

$$\Delta(\Delta \tilde{\nu}) = \frac{1}{2d^2} \Delta d = \frac{1}{2 \cdot 0,1296} \cdot 0,01 = 0,0385 \text{ cm}^{-1} \quad (\text{III-3})$$

te je spektralni interval sa greškom

$$\Delta \tilde{\nu} = (1,388 \pm 0,0385) \text{ cm}^{-1}. \quad (\text{III-4})$$

Izražen u jedinicama talasnih dužina po formuli (14-14) slobodni spektralni interval, zajedno sa greškom je

$$\Delta \lambda = \frac{\lambda^2}{2d} \pm \frac{\lambda^2}{2d^2} \Delta d \quad (\text{III-5})$$

a) Za zelenu liniju Hg, $\lambda = 5460,74^\circ \text{ Å}$ je

$$\Delta \lambda = \frac{(5460,74)^2}{2 \cdot 0,36 \cdot 10^8} \pm \frac{(5460,74)^2}{2 \cdot (0,36 \cdot 10^8)^2} \cdot 0,01 \cdot 10^8 = (0,414 \pm 0,0115)^\circ \text{ Å}. \quad (\text{III-6})$$

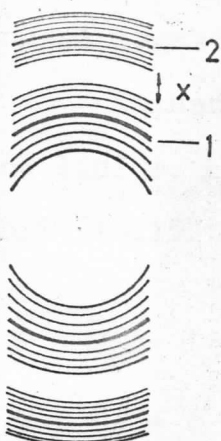
b) Za srednju vrednost talasnih dužina linija žutog natrijumovog dubleta, $\lambda_s = 5893^\circ \text{ Å}$ slično se dobija

$$\Delta \lambda = (0,482 \pm 0,0134)^\circ \text{ Å}. \quad (\text{III-7})$$

III ODREDJIVANJE USLOVA EKSPERIMENTA

Već smo kazali da se zelena linija Hg, $\lambda = 5460,74^\circ \text{ Å}$, unošenjem atoma žive u magnetno polje, cepta na devet komponenata. Na (Sl-III-1) dato je šematski cepanje dva susedna interferentna prstena (1 i 2) posmatrano spektroskopom Ofičine-Galileo sa kolimatom. Vidimo da se unutar slobodnog spektralnog intervala nalazi osam komponenata (linija) i to po četiri od

susednih interferentnih prstenova (1) i (2) koji postoje pre uključivanja polja. Rastojanje između bilo koje dve susedne



komponente iznosi $\frac{1}{2} \cdot 0,47 \text{ B}$. Ako sa x označimo rastojanje između krajnjih susednih komponenata, od kojih jedna potiče od interferentnog prstena (1), a druga od interferentnog prstena (2), to prema (Sl-III-1) možemo pisati

$$8 \cdot \frac{1}{2} \cdot 0,47 \text{ B} + x = \Delta \tilde{v} \quad (\text{III-1})$$

odnosno

$$x = \Delta \tilde{v} - 8 \cdot \frac{1}{2} \cdot 0,47 \text{ B} \quad (\text{III-2})$$

Sl-III-1 Da nebi došlo do prepoklapanja komponenata susednih interferentnih prstenova i mogli uočiti susedni redovi interferencije mora biti

$$x > \frac{1}{2} \cdot 0,47 \text{ B}$$

te je

$$\Delta \tilde{v} - 8 \cdot \frac{1}{2} \cdot 0,47 \text{ B} > \frac{1}{2} \cdot 0,47 \text{ B} \quad (\text{III-3})$$

odnosno

$$\Delta \tilde{v} > 9 \cdot \frac{1}{2} \cdot 0,47 \text{ B} \quad (\text{III-4})$$

Na osnovu (II-2) i (III-4) dobija se

$$B < 0,65 \text{ [Tesla]} \quad (\text{III-5})$$

IV TRANSVERZALNI ZEMANOV EFEKT Hg LINIJA

Zemanov efekt zelene linije Hg, $\lambda = 5460,74 \text{ \AA}$

Šema cepanja ove linije data je na Sl.12.2 a snimak načinjen spektroskopom Ofičine-Galileo na Fot. 1b Str. 50. Na fotografiji se međutim, ne vidi svih devet, već samo sedam komponenata. To je zbog toga što su intenziteti krajnjih dveju komponenata rascepljene linije dosta slabi. Zbog toga smo mogli koristiti magnetno polje veće od dozvoljenog (Zadatak III)

jer Fabri-Pero-ov interferometar nije mogao razdvojiti komponente kada se upotrebi polje odredjeno uslovom eksperimenta (III). Tako je posmatranje Zemanovog efekta za zelenu liniju Hg vršeno sa magnetnom indukcijom od 0,9 T.

Talasni brojevi svih devet komponenata rascepljene zelene linije $\lambda_0 = 5460,74 \text{ \AA}$, $\tilde{\nu}_0 = 183107,05 \text{ cm}^{-1}$, prema formuli (10.15) za magnetnu indukciju $B = 0,9 \text{ T}$ su:

1. $\tilde{\nu} = \tilde{\nu}_0 + (-2 - 0) \cdot 0,47 B = \tilde{\nu}_0 - \frac{4}{2} \cdot 0,47 B = \tilde{\nu}_0 - 0,846 \text{ cm}^{-1}$
2. $\tilde{\nu} = \tilde{\nu}_0 + (0 - \frac{3}{2}) \cdot 0,47 B = \tilde{\nu}_0 - \frac{3}{2} \cdot 0,47 B = \tilde{\nu}_0 - 0,6345$
3. $\tilde{\nu} = \tilde{\nu}_0 + (+2 - 3) \cdot 0,47 B = \tilde{\nu}_0 - \frac{2}{2} \cdot 0,47 B = \tilde{\nu}_0 - 0,423$
4. $\tilde{\nu} = \tilde{\nu}_0 + (-2 + \frac{3}{2}) \cdot 0,47 B = \tilde{\nu}_0 - \frac{1}{2} \cdot 0,47 B = \tilde{\nu}_0 - 0,2115$
5. $\tilde{\nu} = \tilde{\nu}_0 = \tilde{\nu}_0 = \tilde{\nu}_0$
6. $\tilde{\nu} = \tilde{\nu}_0 + (+2 - \frac{3}{2}) \cdot 0,47 B = \tilde{\nu}_0 + \frac{1}{2} \cdot 0,47 B = \tilde{\nu}_0 + 0,2115$
7. $\tilde{\nu} = \tilde{\nu}_0 + (-2 + 3) \cdot 0,47 B = \tilde{\nu}_0 + \frac{2}{2} \cdot 0,47 B = \tilde{\nu}_0 + 0,423$
8. $\tilde{\nu} = \tilde{\nu}_0 + (0 + \frac{3}{2}) \cdot 0,47 B = \tilde{\nu}_0 + \frac{3}{2} \cdot 0,47 B = \tilde{\nu}_0 + 0,6345$
9. $\tilde{\nu} = \tilde{\nu}_0 + (-2 - 0) \cdot 0,47 B = \tilde{\nu}_0 + \frac{4}{2} \cdot 0,47 B = \tilde{\nu}_0 + 0,846$

Razlika izmedju bilo koje dve susedne komponente iznosi

$$\Delta \tilde{\nu} = \frac{1}{2} \cdot 0,47 B = 0,2115 \text{ [cm}^{-1}\text{]}. \quad (\text{IV-1})$$

Izračunajmo sada ovu razliku u jedinicama talasnih dužina. Pošto je $\lambda = \frac{1}{\tilde{\nu}}$, to je

$$\Delta \lambda = \frac{1}{\tilde{\nu}_0^2} \Delta \tilde{\nu} = \lambda_0^2 \Delta \tilde{\nu}. \quad (\text{IV-2})$$

Zamenom (IV-1) u (IV-2) i stavljajući $\lambda_0 = 5460,74 \text{ \AA}$ dobija se

$$\Delta \lambda = 0,063 \text{ [\AA]}$$

To su teorijske vrednosti rastojanja izmedju susednih komponenta. Eksperimentalne vrednosti izračunaćemo pomoću dobijenog snimka spektra rascepljene linije. Kako razmak izmedju susednih

komponenata iznosi približno sedmi deo slobodnog spektralnog intervala, to je razlika u talasnim brojevima i talasnim dužinama izmedju dve susedne komponente, prema (II-4) i (II-6)

$$\Delta \tilde{\nu} = \frac{1,388}{7} = 0,1983 \text{ [cm}^{-1}\text{]} \quad (\text{IV-4})$$

i

$$\Delta \lambda = \frac{0,414}{7} = 0,0591 \text{ [\AA].} \quad (\text{IV-5})$$

Zemanov efekt ljubičaste linije Hg $\lambda = 4046,56 \text{ [\AA]}$

Ljubičasta linija Hg odgovara emisionom prelazu između termova $7^3S_1 - 6^3P_0$. Šema cepanja ove linije data je na (Sl-IV-1), a odgovarajuće fotografije spektra, za različite magnetne indukcije, na Str. 50. Vidi se da se ljubičasta linija cepa na tri komponente sa talasnim brojevima prema relaciji (10.15)

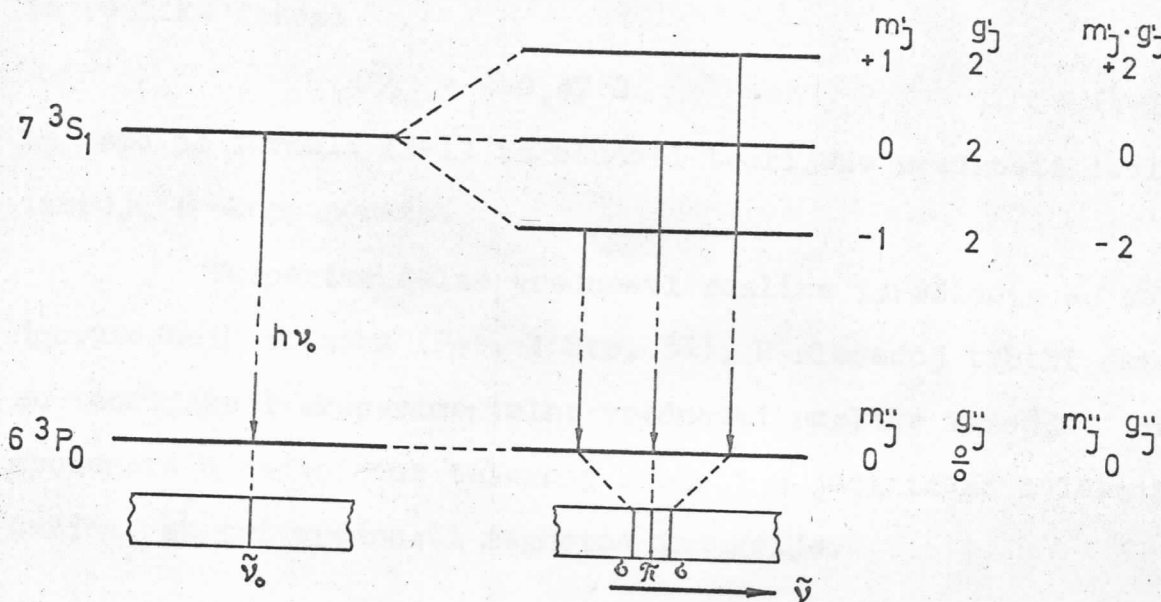
$$\begin{aligned} 1. \tilde{\nu} &= \tilde{\nu}_0 + (-2 - 0) \cdot 0,47 B = \tilde{\nu}_0 - 2 \cdot 0,47 B \\ 2. \tilde{\nu} &= \tilde{\nu}_0 = \tilde{\nu}_0 \\ 3. \tilde{\nu} &= \tilde{\nu}_0 + (+2 - 0) \cdot 0,47 B = \tilde{\nu}_0 + 2 \cdot 0,47 B \end{aligned} \quad (\text{IV-6})$$

Razlika izmedju susednih komponenata iznosi $\Delta \tilde{\nu} = 2 \cdot 0,47 B$.

Da bi se uočila zavisnost razmaka izmedju komponenta od jačine magnetne indukcije cepanje ljubičaste linije posmatrano je sa pet različitih vrednosti magnetne indukcije. Radi preglednosti daćemo u sledećoj tabeli teorijske i eksperimentalne vrednosti razlike između susednih komponenata, izražene u $[\text{cm}^{-1}]$ i $[\text{\AA}]$ za svih pet vrednosti magnetne indukcije, izračunate kao u prethodnom primeru za zelenu liniju. Slobodni spektralni interval za ljubičastu liniju, prema relacijama (14.14) i (14.16) je

$$\Delta \tilde{\nu} = 1,388 \text{ [cm}^{-1}\text{]}$$

$$\Delta \lambda = 0,2274 \text{ [\AA].}$$



Sl - IV - 1

	Teorijske vrednosti		Eksperimentalne vrednosti	
B [T]	$\Delta \tilde{\nu}$ [cm^{-1}]	$\Delta \lambda$ [\AA]	$\Delta \tilde{\nu}$ [cm^{-1}]	$\Delta \lambda$ [\AA]
0,52	0,489	0,080	0,463	0,076
0,59	0,555	0,091	0,521	0,085
0,65	0,611	0,100	0,600	0,099
0,76	0,714	0,117	0,704	0,115
0,79	0,743	0,122	0,736	0,121

V LONGITUDINALNI ZEMANOV EFEKT Hg LINIJA

Zbog velike razlike izmeđju komponenata rascepljene linije longitudinalni Zemanov efekt je posmatran kod ljubičaste linije Hg. Odgovarajuće fotografije spektra priložene su na Str. 51. Na njima se vide samo dve krajnje komponente (δ -komponente), dok srednja (π -komponenta), koja se vidi pri transverzalnom posmatranju, ovde nedostaje. Da bi pokazali da su to zaista δ -komponente izračunaćemo razliku izmedju njih

i uporediti je sa teorijski izračunatom vrednošću. Prema (IV-7) ta razlika iznosi

$$\Delta \tilde{\nu}_{\text{e},\text{g}} = 4 \cdot 0,47 \text{ B} \quad (\text{V-1})$$

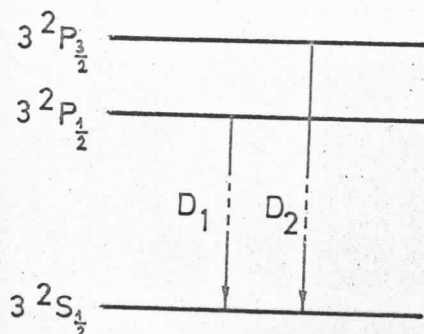
te ćemo po formuli (V-1) izračunati teorijske vrednosti razlike izmedju ϵ -komponenata.

Eksperimentalne vrednosti razlike izračunate su sa odgovarajućih snimaka (Fot. 4 Str. 51). U sledećoj tabeli date su teorijske i eksperimentalne vrednosti razlike izmedju -komponenata u jedinicama talasnog broja i u jedinicama talasnih dužina, za tri vrednosti magnetne indukcije.

	Teorijske vrednosti		Eksperimentalne vrednosti	
B [T]	$\Delta \tilde{\nu}$ [cm^{-1}]	$\Delta \lambda [\text{\AA}]$	$\Delta \tilde{\nu}$ [cm^{-1}]	$\Delta \lambda [\text{\AA}]$
0,49	0,921	0,151	0,901	0,148
0,61	1,147	0,188	1,102	0,180
0,69	1,297	0,212	1,264	0,209

VI REAPSORCIJA D-LINIJA KOD Na

Karakterističan žuti natrijumov dublet sastoji se iz dve linije, D_1 i D_2 , koje odgovaraju emisionim prelazima izmedju termova predstavljenih šematski na (Sl-VI-1). Linije su posma-

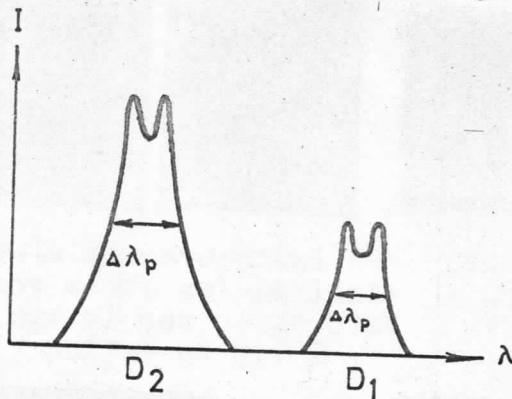


Sl-VI-1

trane na Fabri-Pero-ovom interferometru, a kao svetlosni izvor služila je natrijumova lampa sa električnim praznjenjem, firme OSRAM. Interferentni prstenovi se redjaju tako da se naizmenično smenjuju linije D_1 i D_2 . Takođe se zapaža razlika u intenzitetima linija. Linija D_2 je oko dva puta intenzivnija od linije D_1 .

Prstenovi se redjaju tako da se naizmenično smenjuju linije D_1 i D_2 . Takođe se zapaža razlika u intenzitetima linija. Linija D_2 je oko dva puta intenzivnija od linije D_1 .

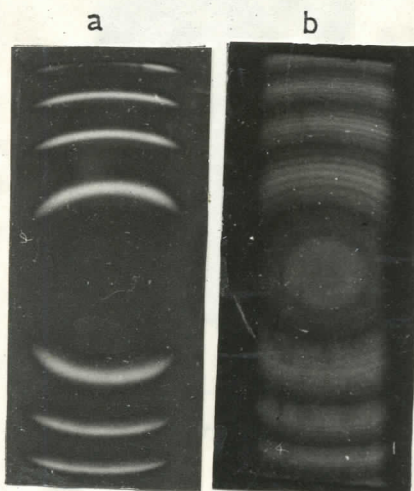
Profil linijsa (zavisnost intenziteta linijsa od talasne dužine) izgleda kao na (Sl-VI-2), a vidi se i na Fot. 2a Str. 50. Ovakav profil linijsa prouzrokovani je reapsorpcijom (samoapsorpcijom) atoma natrijuma u lampi. Naime, fotoni koje emituju pobudjeni atomi u centralnom delu cevi, na svom putu do izlaska iz cevi, bivaju apsorbovani od perifernih atoma koji se nalaze u



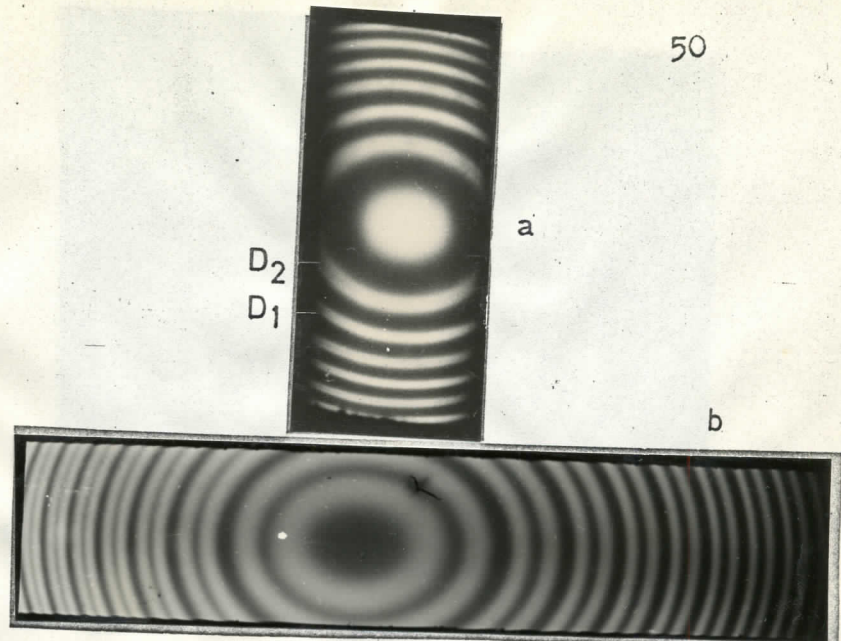
Sl-VI-2

osnovnom stanju te se vrši njihovo pobudjivanje. Zbog toga je intenzitet ovih linijsa u centralnom delu oslabljen te se u spektru javlja tzv. reapsorbovana spektralna linijsa.

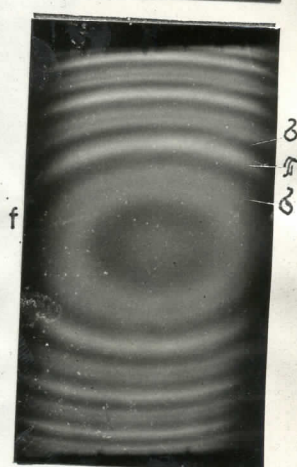
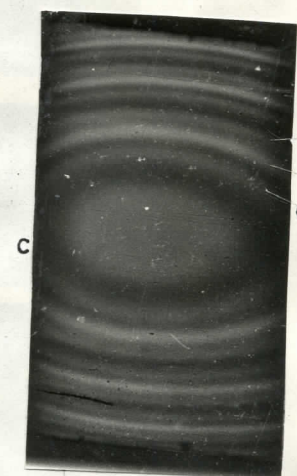
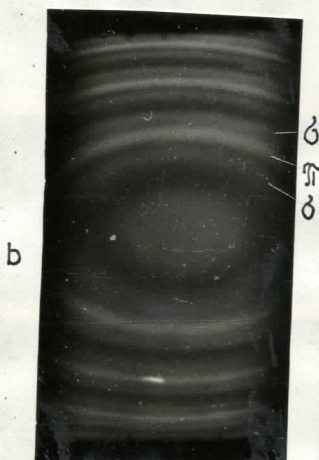
Nijedna spektralna linijsa nije po svojoj prirodi beskrajno uska, tj. strogo monohromatična (strogo određene talasne dužine), već ima svoju širinu. Osnovni uzroci širenja spektralne linijsa jesu prirodno, Doplerovo i Šarkovo širenje.



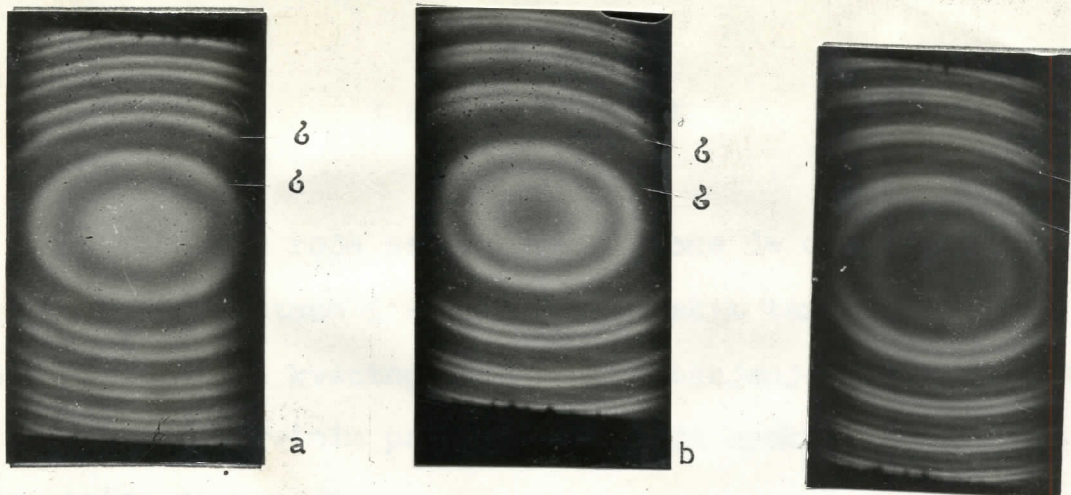
Fot. 1. transverzalni Zemanov efekt zelene linije Hg: a) bez polja b) sa poljem od 0,9 T



Fot. 2. Spektar žutog Na dubleta
a) sa kolimatorom, b) bez koli-
matora

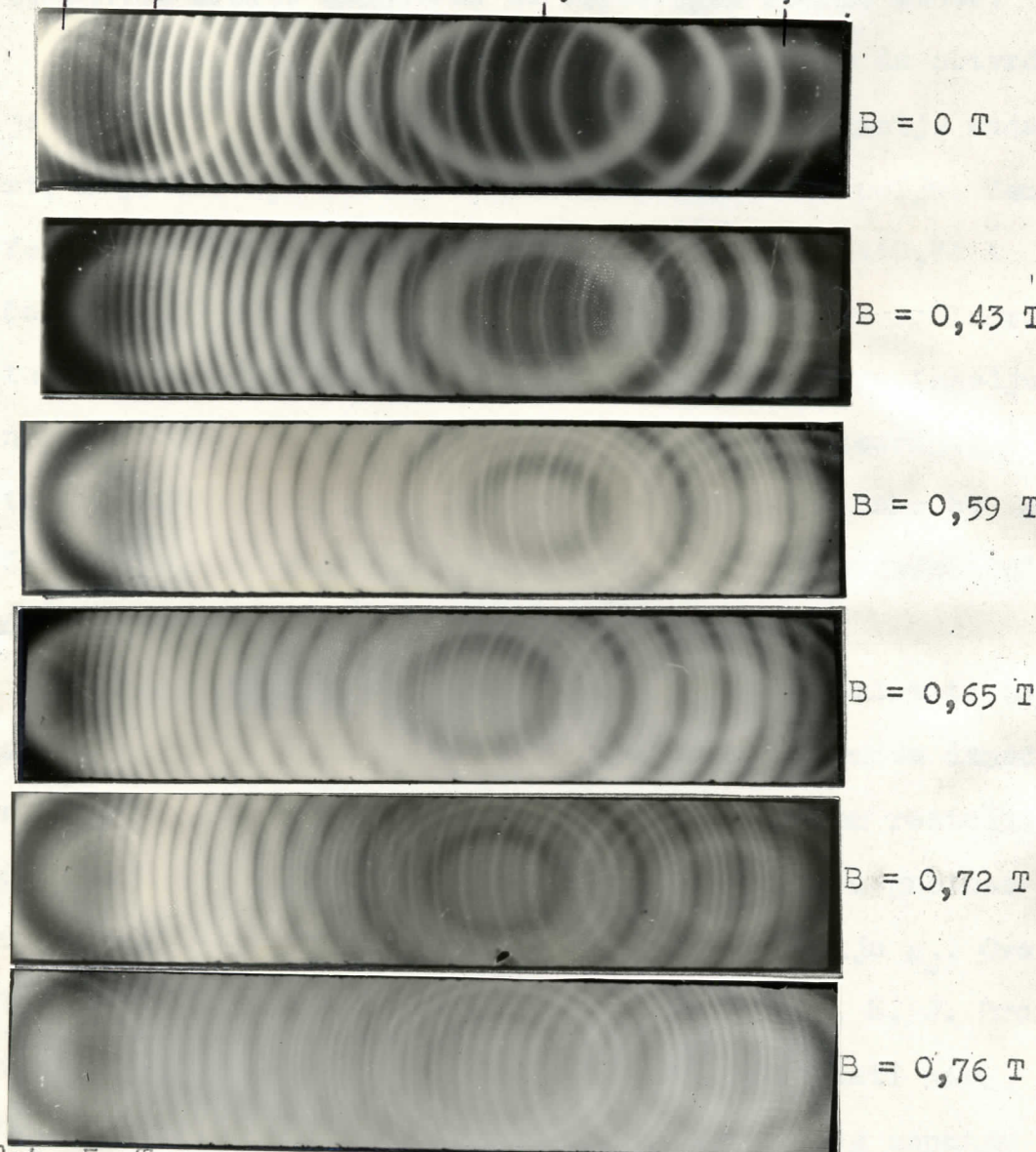


Fot. 3. Transverzalni Zemanov efekt ljubičaste linije Hg,
 $\lambda = 4046,56 \text{ \AA}$, a) bez polja, b) sa poljem od 0,52 T, c) 0,59 T,
d) 0,65 T, e) 0,72 T, f) 0,79 T.



Fot. 4. Longitudinalni Zemanov efekt ljudičaste linije Hg, $\lambda = 4046,56 \text{ Å}$, sa različitim vrednostima magnetne indukcije:
a) 0,49 T, b) 0,61 T, c) 0,69 T.

$\lambda = 5770,9$ $\lambda 5460,74$ $\lambda 4358,33$ $\lambda 4046,56$



Fot. 5. Transverzalni Zemanov efekt kod nekih linija Hg.

Z A K L J U Č A K

Zadatak rada se sastojao u tome da objasni mehanički i magnetni moment atoma i strukturu atomskih termova koji su neophodni za potpuno kvantnomehaničko objašnjenje Zemanovog efekta, a zatim na konkretnim primerima cepanja spektralnih linija da demonstrira samu pojavu.

U teorijskom delu dato je klasično Lorencovo tumačenje normalnog Zemanovog efekta, a zatim kvantnomehaničko objašnjenje Zemanovog efekta zasnovano na vektorskom modelu atoma.

Zadatak eksperimentalnog dela bio je da potvrdi teorijska razmatranja, pojavu cepanja spektralnih linija kada se atomi, koji emituju svetlost, nalaze u magnetnom polju. Zemanov efekt je posmatran kod zelene linije Hg, $\lambda = 5460,74 \text{ } \text{\AA}$ i ljubičaste linije Hg, $\lambda = 4046,56 \text{ } \text{\AA}$, i to pri transverzalnom i longitudinalnom posmatranju. Izračunata su rastojanja izmedju susednih komponenata rascepljene linije koja daje teorija, a zatim su ta rastojanja izmerena sa snimljenog spektra kako bi se upoređivanjem videla saglasnost teorijskih i eksperimentalnih vrednosti.

Zemanov efekt se može praktično iskoristiti za analizu spektralnih linija, odnosno za upoznavanje termova izmedju kojih se, emisijom, dobija nepoznata linijska. Merenjem rastojanja izmedju susednih komponenata rascepljene linije u magnetnom polju može se izračunati vrednost Landeovog množitelja g_J . Ovaj množitelj određuje sveukupnost kvantnih brojeva L, S, J . Broj podnivoa, na koje se u magnetnom polju cepta svaki dati nivo, zavisi od kvantnog broja J . Na taj način tip magnetnog cepanja linijska jednoznačno određuje sveukupnost kvantnih brojeva L_1, S_1, J_1 i

L_2, S_2, J_2 početnog i krajnjeg terma. Drugim rečima, po tipu magnetnog cepanja linije, mogu se odrediti vrednosti kvantnih brojeva L_1, S_1, J_1 i L_2, S_2, J_2 , što znači da se može objasniti priroda odgovarajućih termova.

Literatura

1. H.A. Staab, Einführung in die theoretische organische Chemie, Weinhaim, 1959. str. 422-426.
2. I.E. Irodov, Sbornik zadač po atomnoj i jadernoj fizike, Moskva, 1966. str 63-68.
3. K.H. Hellwege, Einführung in die Phyzik der Atome, Berlin, 1970. str. 89-91.
4. I.V. Saveljev, Kurs obšćej fiziki, III, Moskva, 1968. str. 269-288.
5. G. Hercberg, Atomic Spectra and Atomic Structure, SAD, 1944 str. 96-119. 156-159, 182-196.
6. O. Oldenberg, Introduction to Atomic Physics, New York, 1954. str. 135
7. H. Semat, Introduction to Atomic and Nuclear Physic, New York, 1955. str. 102-107, 259-267.
8. S.E. Friš, Optičeski spektri atomov, Moskva, 1963. str 331-353
9. V.N. Kondratjev, Struktura atoma i molekula, Beograd, 1966. str. 169-197.
10. Dr. Ivan Janić, Eksperimentalne vežbe iz atomske fizike II deo, str. 2-18, 28-42.
11. Maljenkaja enciklopedija, Moskva, 1969, str. 231-234.
12. A. Somerfeld, Atombau und Spektrallinien, Braunschweig, 1921, str. 352-353, 416-435, 537-542.
13. A. Somerfeld, Strojenije atoma i spektri, Moskva, 1956, str. 91-100, 362-371, I str. 283-299, 414-442.
14. R.W. Pohl, Optika i atomnaja fizika, Moskva, 1966. str. 410-415
15. American Yournal of Physics, 6, 1962. 453-461.
16. F.A. Jenkinks and H.A. White, Fundamentals of Optics, New York 1950. str. 264-276 (Fabri-Perot Interferometer), str. 589-597, (Zemanov efekt).

17. I.M. Nagibina i V.K. Prokofjev, Spektraljniye pribori i tehnika spektroskopii, Moskva, str. 8-9, 131-147 (Fabri-Pero int.).
18. M. Born, Atomnaja fizika, Moskva, 1967, str. 183-192.
19. D.M. Ivanović i V.M. Vučić, Atomska i nuklearna fizika, Beograd, 1966 str. 192-196.
20. G. Harison and R.C. Lord, Praktična spektroskopija, str. 203-204 (Zemanov efekt), str. 458-460 (Fabri-Pero-ov interferometar)

